

**KARADENİZ TEKNİK ÜNİVERSİTESİ  
FEN BİLİMLERİ ENSTİTÜSÜ**

**FİZİK ANABİLİM DALI**

**X-IŞINLARININ SOĞURULMASINDA KOLİMATÖR ETKİSİ**

**YÜKSEK LİSANS TEZİ**

**Hilal ÖZTÜRK**

**OCAK 2013  
TRABZON**

**KARADENİZ TEKNİK ÜNİVERSİTESİ**  
**FEN BİLİMLERİ ENSTİTÜSÜ**

**FİZİK ANABİLİM DALI**

**X - İŞİNLERİNİN SOĞURULMASINDA KOLİMATÖR ETKİSİ**

**Hilal ÖZTÜRK**

**Karadeniz Teknik Üniversitesi Fen Bilimleri Enstitüsünce  
"YÜKSEK LİSANS (FİZİK)"  
Unvanı Verilmesi İçin Kabul Edilen Tezdir.**

**Tezin Enstitüye Verildiği Tarih : 02/01/2013  
Tezin Savunma Tarihi : 28/01/2013**

**Tez Danışmanı : Prof. Dr. Uğur ÇEVİK**

**Trabzon 2013**

**Karadeniz Teknik Üniversitesi Fen Bilimleri Enstitüsü**

**Fizik Anabilim Dalında**

**Hilal ÖZTÜRK tarafından hazırlanan**

**X-IŞINLARININ SOĞURULMASINDA KOLİMATÖR ETKİSİ**

**başlıklı bu çalışma, Enstitü Yönetim Kurulunun 15/01/2013 gün ve 1489/02 sayılı  
kararıyla oluşturulan jüri tarafından yapılan sınavda**

**YÜKSEK LİSANS TEZİ**

**olarak kabul edilmiştir.**

**Jüri Üyeleri**

**Başkan : (Prof. Dr. Uğur ÇEVİK) .....**

**Üye : (Prof. Dr. İsmail DEĞIRMENCİOĞLU) .....**

**Üye : (Doç. Dr. Gökhan APAYDIN ) .....**

**Prof. Dr. Sadettin KORKMAZ**

**Enstitü Müdürü**

## ÖNSÖZ

Bu çalışma, Karadeniz Teknik Üniversitesi Fen Bilimleri Enstitüsü Fizik Anabilim Dalında Yüksek Lisans Tezi olarak gerçekleştirildi.

Bu çalışmada, X-ışınlarının soğurulmasında kolimatör etkisi araştırılmak amacıyla Ni, Mo ve Ta elementlerinin kütle soğurma katsayıları belirlendi.

Deneysel çalışmalar Karadeniz Teknik Üniversitesi Fen Fakültesi Fizik Bölümü Atom ve Molekül Fiziği Araştırma Laboratuvarında yapıldı.

Öncelikle, Yüksek Lisans Tez çalışmalarımda deneysel ve teorik bilgi yönünden yararlandığım, yüksek lisans öğrenciliğim süresince bana yol gösteren değerli danışman hocam Prof. Dr. Uğur ÇEVİK'e teşekkürü bir borç bilirim.

Çalışmalarım boyunca, gerek laboratuvar alanında gereksiz teorik alanda yardım找rını esirgemeyen Arş. Gör. Ahmet ÇELİK, Doç. Dr. Hasan BALTAŞ ve Yrd. Doç. Dr. Necati ÇELİK'e teşekkürlerimi sunarım.

Son olarak, Trabzon'daki eğitim hayatım ve Yüksek Lisans çalışmalarım boyunca maddi ve manevi desteklerini eksik etmeyen aileme sevgi ve teşekkürlerimi sunarım.

Hilal ÖZTÜRK

Trabzon 2013

## **TEZ BEYANNAMESİ**

Yüksek Lisans Tezi olarak sunduğum “X-ışınlarının Soğurulmasında Kolimatör Etkisi” başlıklı bu çalışmayı baştan sona kadar danışmanım Prof. Dr. Uğur ÇEVİK'in sorumluluğunda tamamladığımı, verileri/ornekleri kendim topladığımı, deneyleri/analizleri ilgili labaratuvarlarda yaptığımı/yaptırdığımı, başka kaynaklardan aldığım bilgileri metinde ve kaynakçada eksiksiz olarak gösterdiğim, çalışma süresince bilimsel araştırma ve etik kurallara uygun olarak davrandığımı ve aksinin ortaya çıkması durumunda her türlü yasal sonucu kabul ettiğimi beyan ederim. 02/01/2013

Hilal ÖZTÜRK

## İÇİNDEKİLER

	<u>Sayfa No</u>
ÖNSÖZ .....	III
TEZ BEYANNAMESİ.....	IV
İÇİNDEKİLER .....	V
ÖZET .....	VII
SUMMARY.....	VIII
ŞEKİLLER DİZİNİ .....	IX
TABLOLAR DİZİNİ.....	XI
SEMBOLLER DİZİNİ .....	XII
1. GENEL BİLGİLER .....	1
1.1. Giriş.....	1
1.2. Elektromanyetik Radyasyon .....	3
1.3. X-ışınları .....	4
1.3.1. Sürekli X-ışınları.....	5
1.3.2. Karakteristik X-ışınları.....	6
1.4. Elektromanyetik Radyasyonun Madde ile Etkileşimi.....	6
1.4.1. Elektromanyetik Radyasyonun Soğurulması .....	7
1.4.1.1. Fotoelektik Olay.....	7
1.4.1.2. Çift Oluşumu.....	9
1.4.2. Elektromanyetik Radyasyonun Saçılması.....	10
1.4.2.1. Koherent Saçılma .....	10
1.4.2.2. İnkoherent Saçılma.....	10
1.4.2.2.1. Compton Saçılması.....	10
1.5. Soğurma Katsayıları.....	12
1.5.1. Lineer Soğurma Katsayı.....	13
1.5.2. Kütle Soğurma Katsayı.....	14
1.5.3. Kütle Enerji Soğurma Katsayı.....	16
1.5.4. Soğurma Kıyıları.....	18
1.6. Radyasyon Dedektörleri.....	19

1.6.1.	Gazlı Sayaçlar.....	20
1.6.2.	Sintilasyon (Parıldama) Sayacı.....	22
1.6.3.	Yarıiletken Dedektörler .....	24
2.	YAPILAN ÇALIŞMALAR.....	26
2.1.	Kullanılan Malzemeler .....	26
2.2.	Kolimatörlerin Hazırlanması .....	27
2.3.	Kullanılan Dedektör ve Ölçüm Sistemi.....	27
2.3.1.	Sayma Sistemi .....	29
2.3.1.1.	Yüksek Voltaj Kaynağı .....	29
2.3.1.2.	Ön Yükseltici .....	30
2.3.1.3.	Yükseltici.....	30
2.3.1.4.	Analog Digital Çevirici.....	31
2.3.1.5.	Çok Kanallı Analizör.....	31
2.3.2.	X-ışını Spekturmalarının İncelenmesi.....	32
2.3.2.1.	Koherent Pikler.....	32
2.3.2.2.	Compton Pikleri.....	32
2.3.2.3.	Karakteristik X-ışını Pikleri.....	33
2.3.2.4.	Auger Pikleri.....	33
2.3.2.5.	Üst üste binme (Pile-up) Pikleri .....	33
2.3.2.6.	Kaçak (escape) Pikler .....	34
2.3.2.7.	Satellite Çizgileri .....	34
2.4.	Deney.....	35
2.4.1.	Enerji Kalibrasyonu .....	35
2.4.2.	Verim Kalibrasyonu .....	36
2.4.3.	Deney Sistemi .....	38
3.	BULGULAR.....	42
3.1.	Soğurma Katsayıları .....	42
4.	SONUÇLAR.....	54
5.	ÖNERİLER .....	57
6.	KAYNAKLAR .....	58
	ÖZGEÇMİŞ	

Yüksek Lisans Tezi

ÖZET

X-IŞINLARININ SOĞURULMASINDA KOLİMATÖR ETKİSİ

Hilal ÖZTÜRK

Karadeniz Teknik Üniversitesi  
Fen Bilimleri Enstitüsü  
Fizik Anabilim Dalı  
Danışman: Prof. Dr. Uğur ÇEVİK  
2013, 59 Sayfa

Bu çalışmada, X-işinlarının soğurulmasında kullanılan kolimatörlerin soğurma katsayılarına etkisi belirlendi. Deneylerde düşük, orta ve yüksek atom numaralı olmak üzere üç farklı soğurucu kullanıldı. Ölçümler iki farklı şekilde kaydedildi. Öncelikle, dedektör ile soğurucu arasına yerleştirilen kolimatör 4 mm çapında sabit tutulurken, soğurucu ve kaynak arasına yerleştirilen kolimatör çapı 2 mm, 4 mm, 6 mm ve 10 mm olarak değiştirildi. İkinci olarak ise, kaynak ile soğurucu arasına yerleştirilen kolimatör 4 mm çapında sabit tutulurken, soğurucu ve dedektör arasına yerleştirilen kolimatör çapı 2 mm, 4 mm, 6 mm ve 10mm olarak değiştirildi. Soğurma katsayıları, 6,93-59,54 keV enerji aralığında bulunan 4 farklı enerjide ikincil uyarma yöntemi kullanılarak ölçüldü. Bu enerjiler; Co, Cd ve Sm ikincil kaynaklar ve Am radyoaktif kaynağı kullanılarak elde edildi. İkincil kaynakları uyarmak için 59,54 keV'lik gama ışınları yayan  $^{241}Am$  radyoaktif halka kaynak kullanıldı. İkincil kaynaktan yayılan X-işinleri, 5,9 keV'deki rezülasyonu 0,15 keV olan bir Ultra LEGe dedektör kullanıldı. Elde edilen değerler teorik değerlerle kıyaslandı.

**Anahtar Kelimeler:** X-işını, Soğurma katsayısı, Kolimatör, Ultra LEGe dedektör

Master Thesis  
SUMMARY  
Effects of Collimator on X-ray Attenuation

Hilal ÖZTÜRK

Karadeniz Technical University  
The Graduate School of Natural and Applied Sciences  
Physics Graduate Program  
Supervisor: Prof. Uğur ÇEVİK  
2013, 59 Pages

In this study, effects of collimator on mass attenuation coefficients was determined. In experiments, three different absorbers having low, middle and high atomic number were used. Measurements were conducted using the two different methods. Firstly, the collimator positioned between detector and absorber, was hold steady in 4 mm diameter and the collimator positioned between source and absorber was changed as 2 mm, 4 mm, 6 mm, 10 mm. Secondly, the collimator positioned between source and absorber was hold steady in 4 mm diameter and the collimator positioned between detector and absorber was changed as 2 mm, 4 mm, 6 mm, 10 mm. The attenuation coefficients were measured at four different energies from 6,93 to 59,54 keV using secondary excitation method. These energies were obtained using secondary targets such as Co, Cd, Sm and Am radioactive source. 59,54 keV gamma rays emitted from an annular  $^{241}Am$  radioactive source were counted by a Ultra LEGe detector with a resolution of 0.15 keV at 5.9 keV. Obtained values were compared with theoretical values.

**Key Words:** X-rays, Attenuation coefficient, Collimator, Ultra LEGe detector

## ŞEKİLLER DİZİNİ

Sayfa No

Şekil 1. Elektromanyetik radyasyonun enerji spektrumu.....	3
Şekil 2. X-ışınlarının oluşumu.....	5
Şekil 3. Elektromanyetik radyasyonun madde ile etkileşmesi .....	6
Şekil 4. Fotoelektrik olay.....	8
Şekil 5. Çift oluşumu .....	9
Şekil 6. Compton saçılması .....	11
Şekil 7. Elektromanyetik radyasyonun dx kalınlıklı bir maddeden geçerken soğrulması.....	13
Şekil 8. Kütle soğurma katsayısının dalga boyuna göre değişimi .....	18
Şekil 9. Orantılı sayaç.....	21
Şekil 10. Farklı gazla doldurulmuş sayaçlar tarafından meydana getirilen puls yükseklikleri .....	22
Şekil 11. Sintilasyon dedektörü .....	23
Şekil 12. Yarıiletken dedektör .....	24
Şekil 13. Soğurucular.....	26
Şekil 14. Kolimatörler .....	27
Şekil 15. Ultra LEGe dedektörü .....	28
Şekil 16. Sayma sisteminin şematik gösterimi .....	29
Şekil 17. İdeal bir X-ışını spektrumu.....	32
Şekil 18. Enerji – kanal grafiği .....	35
Şekil 19. Enerji – verim eğrisi .....	38
Şekil 20. X-ışınları soğurma ölçümleri için kullanılan deney geometrisi .....	39
Şekil 21. Gama ışınları soğurma ölçümleri için kullanılan deney geometrisi .....	40
Şekil 22. 23,17 keV enerjide molibden için $I$ ve $I_0$ değerleri .....	44
Şekil 23. Ni'in kütle soğurma katsayılarının enerjiyle değişimi (kolimatör çapı 2 mm) ....	45
Şekil 24. Ni'in kütle soğurma katsayılarının enerjiyle değişimi (kolimatör çapı 4 mm) ....	45
Şekil 25. Ni'in kütle soğurma katsayılarının enerjiyle değişimi (kolimatör çapı 6 mm) ....	46
Şekil 26. Ni'in kütle soğurma katsayılarının enerjiyle değişimi (kolimatör çapı 10 mm) ..	46
Şekil 27. Mo'in kütle soğurma katsayılarının enerjiyle değişimi (kolimatör çapı 2 mm)...	47
Şekil 28. Mo'in kütle soğurma katsayılarının enerjiyle değişimi (kolimatör çapı 4 mm)...	47

Şekil 29. Mo'in kütle soğurma katsayılarının enerjiyle değişimi (kolimatör çapı 6 mm)...	48
Şekil 30. Mo'in kütle soğurma katsayılarının enerjiyle değişimi (kolimatör çapı 10 mm).	48
Şekil 31. Ta'ın kütle soğurma katsayılarının enerjiyle değişimi (kolimatör çapı 2 mm)....	49
Şekil 32. Ta'ın kütle soğurma katsayılarının enerjiyle değişimi (kolimatör çapı 4 mm)....	49
Şekil 33. Ta'ın kütle soğurma katsayılarının enerjiyle değişimi (kolimatör çapı 6 mm)....	50
Şekil 34. Ta'ın kütle soğurma katsayılarının enerjiyle değişimi (kolimatör çapı 10 mm)...50	
Şekil 35. Ni'in farklı enerjilerdeki kütle soğurma katsayılarının kolimatör çapıyla değişimi (alt sabit 4 mm) .....	51
Şekil 36. Ni'in farklı enerjilerdeki kütle soğurma katsayılarının kolimatör çapıyla değişimi (üst sabit 4 mm).....	51
Şekil 37. Mo'in farklı enerjilerdeki kütle soğurma katsayılarının kolimatör çapıyla değişimi (alt sabit 4 mm).....	52
Şekil 38. Mo'in farklı enerjilerdeki kütle soğurma katsayılarının kolimatör çapıyla değişimi (üst sabit 4 mm).....	52
Şekil 39. Ta'ın farklı enerjilerdeki kütle soğurma katsayılarının kolimatör çapıyla değişimi (alt sabit 4 mm) .....	53
Şekil 40. Ta'ın farklı enerjilerdeki kütle soğurma katsayılarının kolimatör çapıyla değişimi (üst sabit 4 mm).....	53

## TABLOLAR DİZİNİ

	<u>Sayfa No</u>
Tablo 1. Soğurucu maddeler ve özelliklerı.....	26
Tablo 2. Ultra LEGe dedektörünün özellikleri .....	27
Tablo 3. Enerji kalibrasyonunda kullanılan kaynaklar .....	35
Tablo 4. Verim kalibrasyonunda kullanılan numuneler .....	37
Tablo 5. $^{241}Am$ radyoaktif kaynağının özelliklerı.....	39
Tablo 6. İkincil kaynak olarak kullanılan elementler ve özellikleri .....	41
Tablo 7. İkincil kaynak olarak kullanılan elementler ve karakteristik X-ışını enerjileri.....	41
Tablo 8. Ni, Mo ve Ta'ın kütle soğurma katsayıları.....	43
Tablo 9. Ni, Mo ve Ta'ın kütle soğurma katsayıları.....	43

## SEMBOLLER DİZİNİ

A	: Bağlı atom kütlesi
c	: Işık hızı
d	: Yüzey yoğunluğu
$dx$	: Kalınlık
e	: Elektron yükü
E	: Foton enerjisi
$E_b$	: Bağlanma enerjisi
$E_{fe}$	: Fotoelektronun kinetik enerjisi
$E'$	: Saçilan foton enerjisi
$\langle E' \rangle$	: Compton saçılma fotonunun ortalama enerjisi
$f$	: Enerji-transfer kesri
$f_{incoh}$	: İnkoherent saçılma enerji-transfer kesri
$f_{pair}$	: Elektron-pozitron üretme enerji-transfer kesri
$f_{pe}$	: Fotoelektrik enerji-transfer kesri
$f_{trip}$	: Elektron-pozitron üretme enerji-transfer kesri
$g$	: İkincil yüklü parçacıkların kinetik enerjilerinin ortalama kesri
$h$	: Planck sabiti
$I$	: Gelen fotonun şiddeti
$I_0$	: Soğurulup geçen fotonun şiddeti
$m$	: Kütle
$m_0$	: Elektronun durgun kütlesi
$n$	: Birim hacimdeki atom sayısı
$r$	: Yarıçap
$R$	: Dedektör rezülasyonu
$u$	: Atomik kütle birimi
$V$	: Volt
$v$	: Hız
$W$	: Yarı maksimumdaki puls genişliği

$x$	: Mesafe
$X$	: Floresans radyasyonun ortalama enerjisi
$a$	: İnce yapı sabiti
$\lambda$	: Dalgaboyu
$\mu$	: Lineer soğurma katsayısı
$\mu_{en}$	: Kütle-enerji soğurma katsayısı
$\mu_{tr}$	: Kütle-transfer katsayısı
$\rho$	: Yoğunluk
$\sigma$	: Orantılılık sabiti
$\sigma_{coh}$	: Koherent saçılma tesir kesiti
$\sigma_{incoh}$	: İnkoherent saçılma tesir kesiti
$\sigma_{pair}$	: Elektron-pozitron üretimi tesir kesiti
$\sigma_{pe}$	: Fotoelektron tesir kesiti
$\sigma_{ph.n.}$	: Fotonükleer tesir kesiti
$\sigma_{trip}$	: Elektron-pozitron üretimi tesir kesiti
$\psi$	: Enerji akısı
$\phi$	: Foton akısı

## **1. GENEL BİLGİLER**

### **1.1. Giriş**

1985 yılında Alman Fizik Profesörü Wilhelm Conrad Röntgen tarafından keşfedilen X-ışınları, günümüz görüntüleme yöntemlerinin temelini oluşturmuş ve tıp biliminde yeni bir çağ açmıştır. Röntgen'in X-ışınlarını keşfi, bilim çevresinde çok büyük yankılar uyandırırken yeni gelişmelere de liderlik etmiştir. Bu buluştan kısa bir zaman sonra H. Antonie Becquerel X-ışınları üzerinde çalışırken uranyumun radyoaktifliğini; Curie'ler ise radyum elementini keşfederken "Radyoloji" adında yeni bir bilimin doğuşunu gerçekleştirmiştir.

X-ışınları keşfinden bugüne, çok kısa dalga boyları ve yüksek enerjileri ile günlük hayat içinde önemli ve yaygın kullanım alanları bulmuştur. X-ışınları, tıpta teşhis ve tedavi aracı olarak büyük öneme sahiptir. Radyoskopî ve radyografi için X-ışınlarından yararlanılır. X-ışınları; maddenin yapısı, örneğin kristal düzeni, karmaşık organik maddelerin molekül yapılarının aydınlatılmasında başvurulan bir araştırma aracıdır. Teknikte malzeme kontrolünde, örneğin bir numunenin içinde yabancı bir madde, hava boşluğu ya da bir yapım hatası bulunup bulunmadığını anlamak için X-ışınları radyografisinden yararlanılır. Kimya bilim dalında bir örnek içinde bulunan eser miktardaki yabancı maddenin analizi, fizik bilim dalında yeni elementlerin keşfedilmesi ve özelliklerinin incelenmesinde, araştırma aracı olarak X-ışınlarının önemi büyktür. Günümüzde nükleer görüntüleme, tıpta ve sanayide çok geniş bir kullanım alanına sahiptir (Arslan, 2010).

Kütle soğurma katsayısı; medikal çalışmalarında, tarım endüstrisinde, biyolojik ve sanayisel alanlarda, radyasyon dozimetresinde ve radyasyon fiziğinde çeşitli problemleri çözmek için gerekli olduğundan önemli bir niceliktir. Kütle soğurma katsayısı atom çekirdeği ile gama ışınları arasındaki bütün etkileşimlerin ihtimaliyetini ölçer. Bu, foton enerjisine ve soğurucu maddenin doğasına bağlıdır (Çelik vd., 2012). Kütle soğurma katsayısının oldukça fazla teorik hesaplamaları vardır. Çeşitli elementlerin, bileşiklerin ve karışımının kütle soğurma katsayılarının deneysel hesaplanması da literatürde önemli bir sayıda yayın olarak bulunmaktadır (Hubbell, 1982, Çevik ve Baltaş, 2007). Aynı zamanda

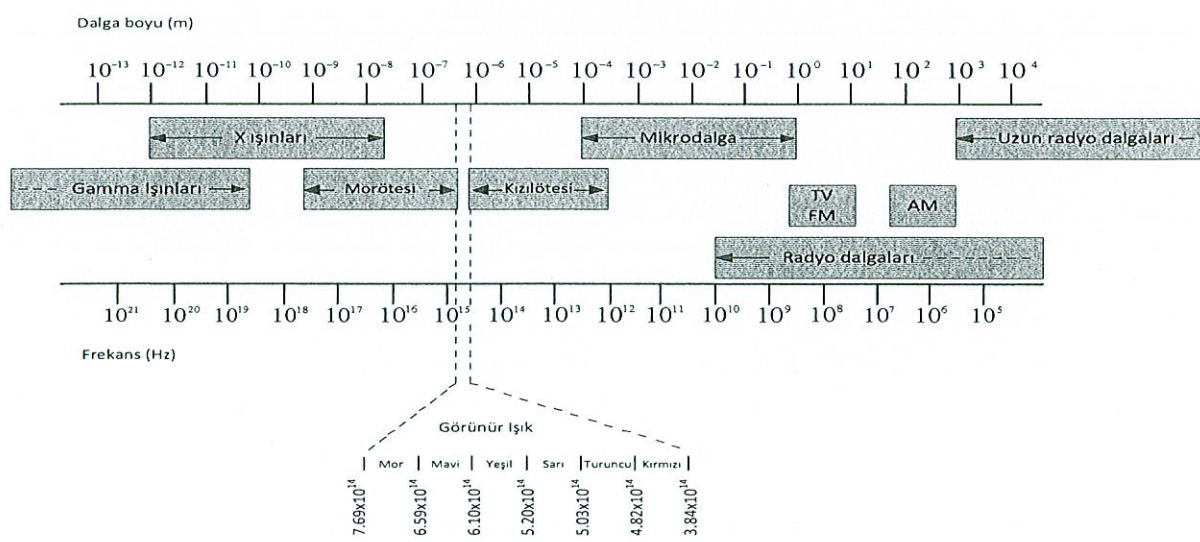
deneysel veriler, XCOM'da teorik tablolarla karşılaştırılır (Berger ve Hubbell, 1987).

Hatta, iyi tanımlanmış deneysel koşullar olduğunda teorik ve deneysel veriler arasında önemli sistematik farklılıklar bulunur. Bu durum da, yayınlanmış kütle soğurma katsayıları arasında farklılıklara sebep olur. Bu durumun sebeplerinden biri, taşınan demetin uygun kolimatörden geçmemiş olmasıdır (Creagh, 1987). Uygun olmayan dedektör kolimesi, saçılma etkisine bağlı olarak sistematik hatalara sebep olabilir. Çünkü saçılan fotonlar taşınan demetin bir parçası gibi sayılabilir. Kütle soğurma katsayısı hesaplanmasında, dedektörün kolimatör etkisinin nitelik analizi eksiktir ve bu hesaplamaların yapılması için gereklidir. Kütle soğurma katsayısına dedektör kolimesinin etkisini incelemek için farklı radyasyon enerjileri gerekmektedir. Gerekli foton enerjilerini elde etmek için farklı teknikler vardır. Bu tekniklerin detaylı anlatımı Abdullah'ın çalışmasında bulunabilir (Abdullah vd., 2010). Bu teknikler ikincil kaynak tekniği, indüklenmiş proton X-ışını yayılımı (PIXE) tekniği ve Tamura tarafından geliştirilen kütle soğurma katsayısını ölçmek için Bragg açısı civarında X-ışını yayımını veren bir tekniktir. Bahsedilen bütün teknikler genellikle (100keV'den az) düşük foton enerjilerinde göreliliğe dayalı kütle soğurma katsayılarını ölçmek için kullanılır. Nispeten daha yüksek enerjiler için (5-11 MeV) kütle soğurma katsayıları monokromatik nötron yakalama hızlı gama ışınları kullanılarak ölçülür (Moreh ve Wang, 1975). Bahsedilen diğer metodlardan çok daha fazla kullanışlı olan bir diğer metot ise sinkretron radyasyonu kullanmaktadır. Sinkretron radyasyonuna dayalı metodlarda tipik bir örnek, bakırın kütle soğurma katsayısının ölçümleri için Chantler'in çalışmasıdır (Chantler, 2001).

$^{241}Am$  radyoaktif kaynağından yayılan gama ışınlarını kullanarak kütle soğurma katsayıları ölçülebilir. Bu çalışmada, 6,93 keV ile 59,54 keV enerji aralığında Ni, Mo ve Ta elementlerinin kütle soğurma katsayıları hesaplamasında dedektör kolimesinin etkisi çalışıldı. Bu amaç için, bir kurşun (Pb) kolimatör tarafından kolime edilmiş demet çapı 4 mm tutulurken, dedektörün kolimatör çapları 2 mm ile 10 mm arasında değiştirildi. Aynı işlem ters şekilde de uygulanarak demet çapı 2 mm ile 10 mm arasında değişirken dedektör kolimesinin çapı 4 mm de sabit tutuldu. Farklı dedektör kolimatörleri kullanılarak sağlanan ve ölçülen kütle soğurma katsayıları arasındaki göreli değişimler hesaplandı ve sonuçlar tartışıldı.

## 1.2. Elektromanyetik Radyasyon

Elektromanyetik radyasyon, atomlardan çeşitli şekillerde ortaya çıkan enerji türleri ve bunların yayılma şekillerine verilen addır. Elektromanyetik dalgalar, yüklü bir parçacığın ivmeli hareketi sonucu oluşan, birbirine dik elektrik ve manyetik alan bileşeni bulunan ve bu iki alanın oluşturduğu düzleme dik doğrultuda yayılan, yayılmaları için ortam gerekmeyen, boşlukta  $c$  ışık hızı ile yayılan enine dalgalardır (URL-1, 2012). İçinde X ve  $\gamma$  ışınlarının ve görülebilir ışığın da bulunduğu ışınmalar, dalga boyları ve frekanslarına göre elektromanyetik spektrumu oluştururlar. Bu spektrumun bir ucunda dalga boyları en büyük, enerjileri ve frekansları ise en küçük olan radyo dalgaları bulunur. Diğer ucunda ise; dalga boyları çok küçük, fakat enerji ve frekansları büyük olan X ve  $\gamma$  ışınları bulunur. Elektromanyetik ışınmalar, boşlukta düz bir doğrultuda yayılırlar. Hızları ışık hızına (yaklaşık 300.000 km/sn) eşittir. Geçikleri ortama; frekanslarıyla doğru orantılı, dalga boylarıyla ters orantılı olmak üzere enerji aktarırlar. Enerjileri; maddeyi geçerken, soğurulma ve saçılma nedeniyle azalır, boşlukta ise uzaklığın karesiyle ters orantılı olarak azalır. Elektromanyetik radyasyonlar, sinüzoidal yayılım yaparlar.



Şekil 1. Elektromanyetik radyasyonun enerji spektrumu.

Elektromanyetik radyasyonların madde ile etkileşimini dalga boyları belirler. Dalga boyları metreleri bulan radyo dalgaları, radyo antenleriyle alınabilir. Mikrodalgaların dalga boyları santimetrelerle belirtilir. Görülebilir ışığın dalga boyu, görme hücrelerini etkileyebilecek boyuttadır. Ultraviyole ışık, X ışını ise atom ve subatomik parçacıklarla etkileşir. Elektromanyetik spektrumun algılayabileceğimiz bölümü olan görülebilir ışık, spektrumun çok dar bir bölümünü oluşturur. Elektromanyetik spektrumda görülebilir ışığa yakın yerleşen morötesi ve kıızılıtesi radyasyonlar insan gözüyle görülmezler fakat fotografik emülsiyon ve benzeri diğer yöntemlerle saptanabilirler (URL-2, 2012).

### **1.3. X-Işınları**

X-işınları yüksek enerjili elektronların yavaşlatılması veya atomların iç yörüngelerindeki elektron geçişleri ile meydana gelen dalga boyları 0,1-100 Å arasında değişen elektromanyetik dalgalarıdır. Dalga boyları küçük, girginlik dereceleri fazla olan X-işınına “sert X-ışını”, dalga boyları büyük, girginlik dereceleri az olan X-işınına “yumuşak X-ışını” denir.

X-işınları hem dalga hem tanecik özelliği gösterirler. Dolayısıyla çift karakterlidirler. Fotoelektrik soğurulma, Compton saçılması (inkohären saçılma), gaz iyonizasyonu ve sintilasyon tanecik özellikleri; polarizasyon ve Rayleigh saçılması (kohären saçılma) dalga özellikleridir. X-işınları elektrik ve manyetik alandan etkilenmezler. İşık hızı ile doğrular halinde yayılırlar. Sürekli ve çizgi spektrumu verirler.

Atom çekirdeği tarafından K enerji kabuğundan elektron yakalanması, alfa bozunu, iç dönüşüm ve beta bozunu olaylarıyla X-ışını meydana gelir. Bir atoma dışarıdan gelen veya gönderilen yüksek enerjili elektronlar o atomun ilk kabuğundan elektronlar koparırlar. Atomdan kopan bu elektronun yerine daha yüksek seviyelerden elektronlar atlayarak kopan elektronun yerindeki boşluğu doldururlar. Bu sırada ortaya çıkan enerji fazlalığı X-ışını şeklinde dışarı salınır. Çekirdek içerisinde bulunan protonlardan bir tanesi hareketi esnasında atomun ilk kabuğundaki elektronu yakalar ve nötrleşir. Yakalanan bu elektronun kabuğundaki boşalan yere diğer bir kabuktan bir elektron atlamasıyla X-ışını meydana gelebilir.

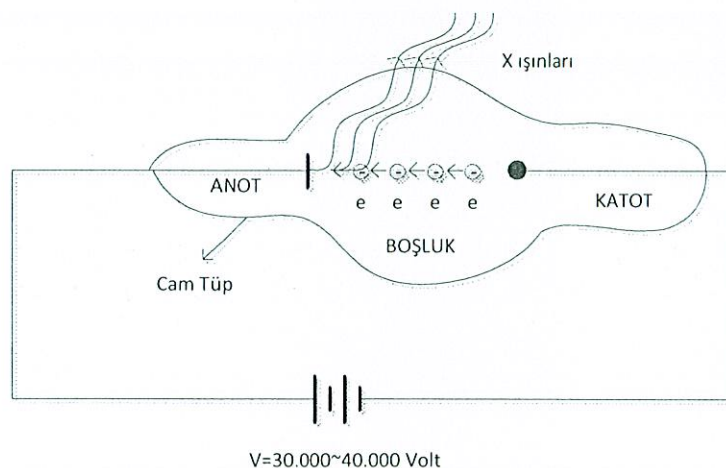
Maddenin; elektron, proton veya iyonlar gibi hızlandırılmış parçacıklarla etkileşmesinden ya da X-ışını tüpünden veya başka bir uygun radyoaktif kaynağından çıkan fotonlarla etkileşmesinden de X-işınları meydana gelir. Maddenin, fotonlarla

etkileşmesinden karakteristik (çizgi) X-ışınları, yüklü parçacıklarla etkileşmesinden hem karakteristik hem de sürekli X-ışınları elde edilir (Arslan, 2010).

X-ışını tüpü yüksek volajlı bir katot ışını tüpüdür. Havası boşaltılmış katot ışınları tüpünün katodundan salınan elektronlar, yüksek voltaj altında ivmelendirilirler. Elektronların hızı, anoda çarptıkları anda maksimumdur ve enerjileri,

$$E_{el} = eV = \frac{hc}{\lambda} = \frac{1}{2}mv^2 \quad (1)$$

olur. Elektronlar anoda çarپınca bu enerjilerinin %98-99unu ısı şeklinde kaybederler. %1-2 si ise X-ışınlarına dönüşür. Böylece, hedef anot X-ışını kaynağı olur. X-ışınlarını sürekli X-ışınları ve karakteristik X-ışınları olarak ikiye ayırırız.



Şekil 2. X-ışınlarının oluşumu.

### 1.3.1. Sürekli X-ışınları

Anoda çarpan elektronlar enerjilerini,

$$E_{el} = eV = \frac{hc}{\lambda_1} + \frac{hc}{\lambda_2} + \frac{hc}{\lambda_3} + \dots \quad (2)$$

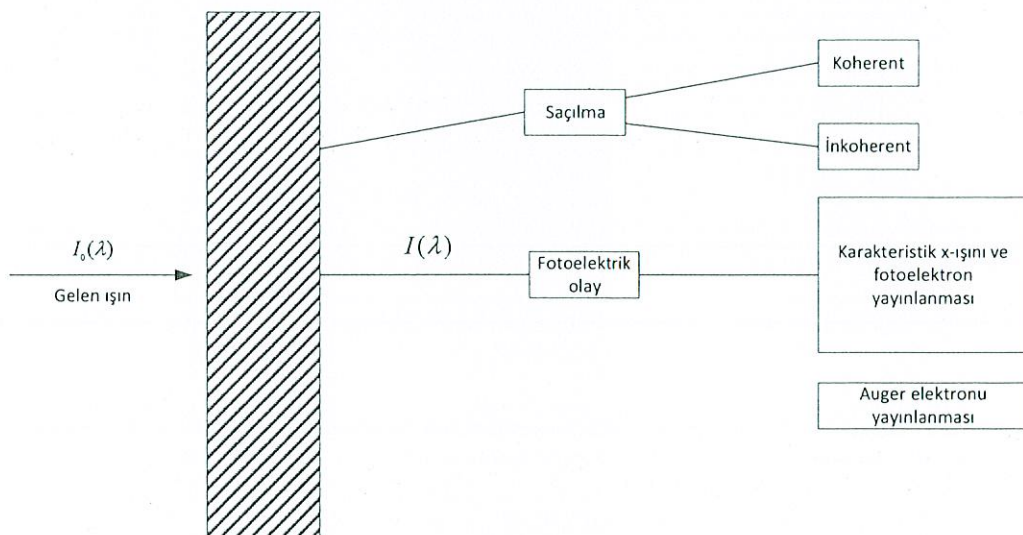
şeklinde çok sayıda çarpışma sonunda bitirirlerse çok farklı dalga boylarında X-ışınları oluşur. Bu X-ışınları spektrumuna, sürekli X-ışınları veya beyaz X-ışınları denir. Sürekli

X-ışınları spektrumu, hızlandırılmış elektronların hedef madde tarafından kademeli olarak (birçok çarpışmadan sonra) durdurulmasıyla meydana gelen X-ışını spektrumudur.

### 1.3.2. Karakteristik X-ışınları

Uygulanan gerilim belli bir voltajdan ( $V_{kritik}$ ) büyük olduğu zaman hızlandırılmış elektronlar, hedef metal atomlarının iç yörüngे elektronlarını uyarırlar. Bu elektronların tekrar yerlerine dönmesi veya bunların yerlerinin dış kabuk elektronlarında doldurulması esnasında K,L,M serisi keskin çizgili karakteristik X-ışınları yayırlar. Karakteristik X-ışınları, hedef atomların enerji seviyeleri arasındaki geçişlerden kaynaklanır. Bu sebepten dolayı her element için  $V_{kritik}$ ,  $\lambda_\alpha$ ,  $\lambda_\beta$  farklıdır, yani bu ışınlar hedef maddeler için ayırt edici bir özelliktir ve madde tayininde kullanılırlar.

### 1.4. Elektromanyetik Radyasyonun Madde ile Etkileşimi



Şekil 3. Elektromanyetik radyasyonun madde ile etkileşimi.

Monokromatik X-ışınları veya gama ışınları bir madde ile karşılaşlığında, ışınların bir kısmı maddeden geçer ve bir kısmı da soğurulur. Yani maddeden geçen elektromanyetik radyasyonun şiddetine bir azalma gözlenir. Elektromanyetik radyasyonun genliğindeki azalmanın madde içinde kat ettiği mesafe ile orantılı olduğu deneysel olarak gözlenmiştir.

$$I \propto x \quad (3)$$

Burada  $I$  şiddet,  $x$  madde içinde kat edilen mesafedir. Bu ifade diferansiyel formda yazılırsa,

$$-\frac{dI}{I} = \mu dx \quad (4)$$

olur. Bu ifadenin integrali alınırsa, elektromanyetik radyasyon demetinin soğurulma sonucu azalması

$$I = I_0 e^{-\mu x} \quad (5)$$

şeklinde bulunur. Buna Lambert-Beer kanunu denir. Burada  $\mu$  çizgisel soğurma katsayısı,  $I_0$  gelen demetin şiddeti ve  $I$  madde içinde  $x$  mesafesi kadar yol aldığında elektromanyetik radyasyon demetinin şiddetidir.

Madde içine giren elektromanyetik radyasyon, madde atomuna bağlı elektronlar, serbest elektronlar ve çekirdekle etkileşirler. Etkileşme sonucunda meydana gelebilecek olaylar fotonun enerjisine bağlıdır. Elektromanyetik radyasyonun madde ile etkileşmesini, soğurulması ve saçılması olmak üzere iki ana başlıkta toplayabiliriz.

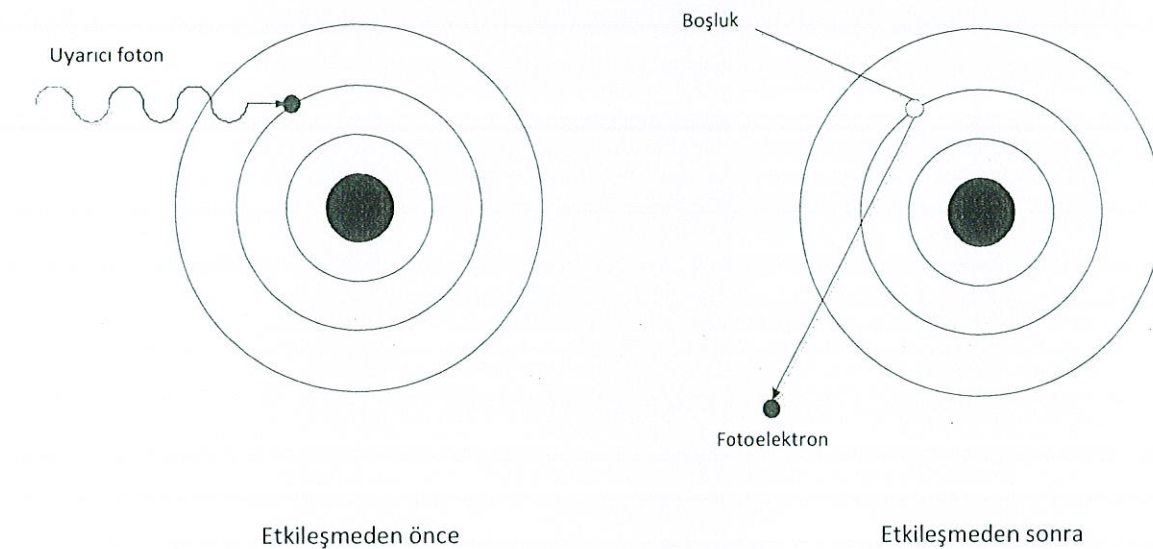
#### **1.4.1. Elektromanyetik Radyasyonun Soğurulması**

Elektromanyetik radyasyonun soğurulması olayının en çok gözlemlenenleri (gelen foton enerjisine bağlı olarak) fotoelektrik olay ve çift oluşumudur.

##### **1.4.1.1. Fotoelektrik Olay**

Madde üzerine düşen fotonun madde atomunun bağlı elektronlarından bir tanesine tüm enerjisini verip bu elektronun yörungesinden ayrılp serbest hale gelmesi olayına fotoelektrik olay, serbest hale gelen elektrona da fotoelektron denilmektedir. Fotoelektrik olayın başlayabilmesi için radyasyonun frekansı, fotoelektrik eşik adı verilen bir  $v_0$  frekansından büyük olmalıdır; yani  $v = v_0$  halinde olay durur;  $v < v_0$  için asla meydana

gelmez.  $v_0$  frekansı maddenin karakteristiğidir; yani üzerine ışık düşürülen metalin cinsine bağlıdır.



Şekil 4. Fotoelektrik olay.

Metalin yüzeyinden bir saniyede sökülen elektronların sayısı, dolayısıyla fotoelektrik akımının şiddeti, gelen monokromatik radyasyonun şiddetiyle orantılıdır. Sökülen elektronların maksimum hızları, dolayısıyla maksimum kinetik enerjileri, ışığın şiddetine değil, sadece gelen radyasyonun frekansına bağlıdır. Serbest elektronlar foton soğurmazlar ve geri tepmezler. Böyle bir işlemde enerji ve momentum korunamaz; momentum soğurmak için ağır bir atom gereklidir. Fotoelektronun kinetik enerjisi, fotonun enerjisi ile elektronun bağlanma enerjisinin farkına eşittir.

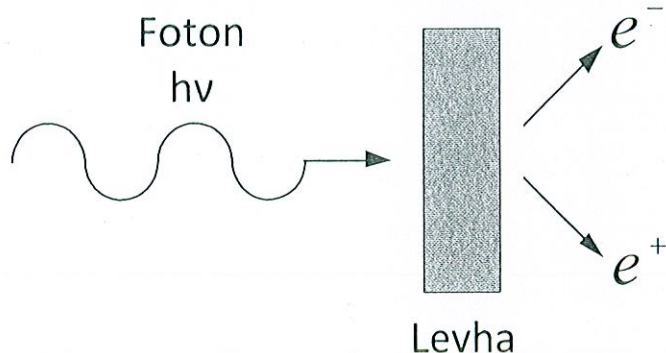
$$E_{fe} = hv - E_b \quad (6)$$

Burada  $E_b$ , elektronun bağlı olduğu kabuğun bağlanma enerjisi;  $hv$  gelen fotonun enerjisidir. Fotonun  $hv$  enerjisi elektronun bağlanma enerjisine yaklaşıkça fotonun soğurulma ihtimali artar.

Fotonun soğurulduğu kabukta oluşan boşluk, atomun üst tabaka elektronlarını tarafından doldurulur. Bu işlem sonucu, iki tabakanın bağlanma enerjileri arasındaki fark kadar enerjiye sahip bir foton yayılır ve bu foton karakteristik X-ışını fotonu olarak adlandırılır.

Oluşan karakteristik X-ışını her zaman atomu terk etmez, bazen bu foton atomun dış kabuklarındaki elektronlardan birisini sökerek yok olur. Bu olaya Auger olayı, sökülen elektrona da Auger elektronu denir. Böylece, meydana getirilen bir boşluk için her zaman bir karakteristik X-ışını yayılmaz. Meydana getirilen boşluk başına X-ışını yayınlama ihtimali floresans verim ( $\omega$ ) olarak tanımlanır. Floresans verim 0 ile 1 arasında değerler alır. Küçük atom numaralı elementler için Auger elektronu yayınlama ihtimali, büyük atom numaralı elementlerinkine oranla daha büyütür. Büyük atom numaralı elementler için karakteristik X-ışını yayınlama ihtimali ise küçük atom numaralılara göre daha büyütür. Bunun sebebi, küçük atom numaralı atomlarda iç kabuklar arası elektron geçişinden yayılan foton enerjisinin, dış kabukların soğurma kıyılara, büyük atom numaralı elementlerinkinden çok yakın olmasıdır.

#### 1.4.1.2. Çift Oluşumu



Şekil 5. Çift oluşumu.

Yüksek atom numaralı bir elementin çekirdeğine yakın yerden geçen fotonun enerjisini kaybederek bir elektron- pozitron çiftine dönüşmesine çift oluşum olayı denir.

$$\gamma \rightarrow e^+ + e^- \quad (7)$$

Oluşan elektron ve pozitronun yükleri zit işaretli ve kütleleri eşittir. Çift oluşumu olayında hiçbir korunum yasası bozulmaz. Yük, çizgisel momentum ve toplam enerji korunur. Bu olay gelen foton enerjisi 1,02 MeV den daha büyük olduğu zaman meydana

gelir. Pozitronlar çok kısa ömürlüdür, 0,51 MeV enerjili iki fotonun oluşmasıyla yok olurlar. Çift oluşumu, yüksek enerjili fotonlar yüksek atom numaralı maddelerden geçtiği zaman önemlidir.

#### **1.4.2. Elektromanyetik Radyasyonun Saçılması**

Elektromanyetik radyasyonun madde ile etkileşmesinin bir diğer sonucu olan saçılma olayı, saçılan radyasyonun enerjisine göre koherent ve inkoherent olmak üzere ikiye ayrılmaktadır.

##### **1.4.2.1. Koherent Saçılma**

Elektromanyetik radyasyon atomla etkileştiği zaman ne atomun iç yapısında ne de saçılan radyasyonun enerjisinde bir değişme gözlenmiyorsa bu tür saçılmalara koherent saçılma adı verilir. Koherent saçılımada gelen ve saçılan radyasyon aynı fazdadır. Thomson, Delbrück, Rayleigh ve Nükleer Rezonans Saçılma koherent saçılmalardır. Thomson saçılması soğurma katsayısına sadece çok az bir katkıda bulunur. Saçılma enerji kaybı olmadan meydana gelir. Saçılma esas olarak ileri doğrultudadır.

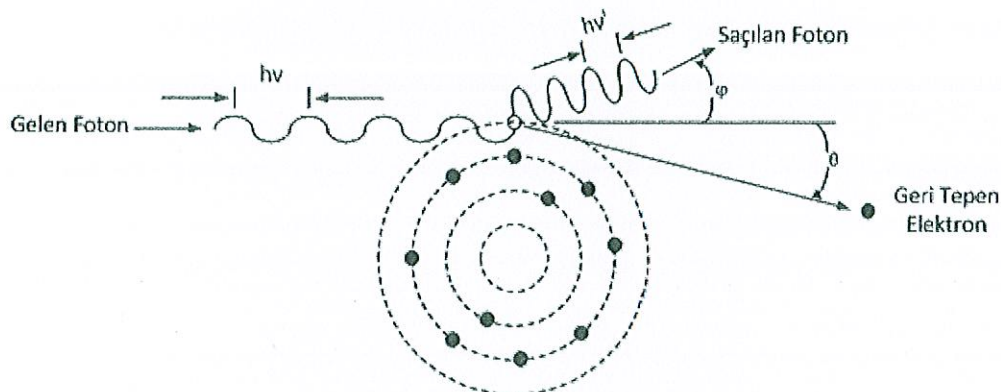
##### **1.4.2.2. İnkoherent Saçılma**

Elektromanyetik radyasyon atomla etkileştiği zaman gelen foton ile saçılan foton arasında enerji farkı meydana geliyorsa bu tür saçılma inkoherent saçılma denir. Yani gelen ve saçılan fotonların dalga boyları ve fazları birbirinden farklıdır. Compton, Raman ve Nükleer Saçılma inkoherent saçılmalardır. Bunlardan en etkilisi Compton Saçılmasıdır.

###### **1.4.2.2.1. Compton Saçılması**

Atomun dış yörüngesine zayıf olarak bağlı elektrona, elektronun bağlanma enerjisinden çok büyük enerjili fotonun çarparak saçılması olayına Compton saçılması denir. Bu olayda relativistik enerji ve momentum korunur. Saçılan foton gelen fotondan daha düşük enerjiye ve bu sebepten dolayı da daha büyük dalga boyuna sahiptir. Compton saçılması atom numarası küçük olan numuneler için önemlidir. 100 keV – 10 MeV

enerjilerde radyasyon soğurumunun ana sebebi Compton olayıdır. Compton olayı fotonun parçacık özelliğini açıklar.



Şekil 6. Compton saçılması.

Enerji ve momentumun korunumu bağıntılarını ve enerjinin rölativistik eşitliği kullanıldığında,

$$\Delta\lambda = \frac{h}{m_0 c} (1 - \cos\varphi) \quad (8)$$

ifadesi elde edilir. Burada  $\Delta\lambda = \lambda' - \lambda$  saçılan ve gelen fotonun dalga boyları arasındaki farktır.  $h$  Planck sabiti,  $m_0$  elektronun kütlesi,  $c$  ışık hızı ve  $\varphi$  ise fotonun saçılma açısıdır.  $\frac{h}{m_0 c} = 2,43 \times 10^{-13}$  m ise Compton dalga boyu olarak adlandırılmaktadır.

$\Delta\lambda$  eşitliği kullanılarak saçılan fotonun enerjisi,

$$E' = \frac{E}{1 + \alpha(1 - \cos\varphi)} \quad (9)$$

ifadesiyle verilir.

Geri tepen elektronun kinetik enerjisi ise,

$$K = \frac{\alpha E(1 - \cos\varphi)}{1 + \alpha(1 - \cos\varphi)} \quad (10)$$

ile verilir. Burada  $E$  gelen foton enerjisi,  $\alpha = \frac{E}{m_0 c^2}$  olup ince yapı sabitidir. Gelen foton, saçılan foton ve geri tepen elektron daima bir düzlemden olduğundan  $\theta$  ve  $\varphi$  arasındaki bağıntı ise,

$$\cot\varphi = (1 + \alpha)\tan\frac{\theta}{2} \quad (11)$$

ifadesi ile verilir. Burada  $\theta$ , geri tepen elektronla gelen fotonun yönü arasındaki açıdır. Compton olayı dış tabaka elektronlarında daha baskındır.

### 1.5. Soğurma Katsayıları

Tek enerjili dar bir foton demeti,  $Z$  atom numaralı bir maddeyle etkileştiğinde bu fotonların bir kısmı maddenin diğer tarafına geçerken bir kısmı da soğurulur. Bu soğurma olayı fotonların soğurucu maddenin atomları ile etkileşmesi sonucu oluşur ve genellikle iki farklı yolla gerçekleşir. Bunlardan birincisi gerçek soğurma olarak adlandırılan ve fotonların atomlarla etkileşmesi sonucu elektronik geçişlere sebep olması ile gerçekleşen photoelektrik soğurmadır. Diğer ise fotonların atomlardan saçılması ile gerçekleşen soğurmadır. Bu etkiler dikkate alındığında toplam soğurma katsayısının,

$$\mu = \tau + \sigma \quad (12)$$

şeklinde olması gereği açıkça görülmektedir. 0,1 keV ile 100 keV aralığındaki enerji bölgesinde photoelektrik soğurma katsayısı saçılma soğurma katsayısından çok daha büyütür. Toplam soğurma katsayısına katkısı ise %95'in üzerindedir. Bundan dolayı bu enerji aralığında yapılan deneylerde elde edilen photoelektrik soğurma katsayısı sonuçları toplam soğurmayı yeteri kadar yansımaktadır (Baltaş, 2006).

### 1.5.1. Lineer Soğurma Katsayısı

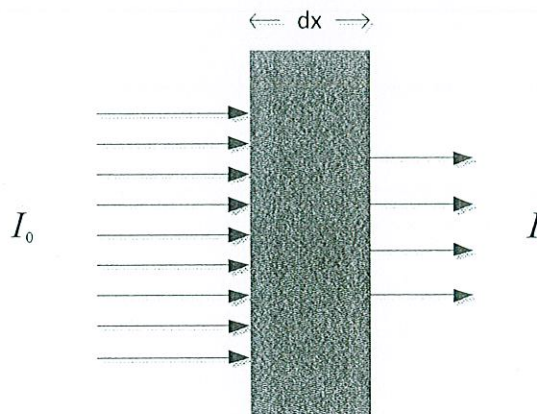
Soğurma olayı ilk kez Röntgen tarafından izah edilmiştir. Buna göre, bir foton (X-ışını, gama ışını, vs.) soğurucu bir maddenin  $dx$  kalınlığındaki sonsuz ince bir tabakasından geçerken şiddetinde bir değişim olur ve bu değişim şu şekilde ifade edilebilir.

$$dI(x) = -I(x)n\sigma dx \quad (13)$$

Burada  $dI$ ; şiddetteki değişim,  $I$ ; başlangıç şiddeti,  $n$ ; birim hacimdeki atom sayısı( $atom/cm^3$ )  $\sigma$ ; orantılılık sabiti(saçılan ya da soğurulan bir atomun olasılığını yansıtır),  $dx$ ; kalınlıktır. Birim hacimdeki atom sayısı ( $atom/cm^3$ ) ve orantılılık sabiti ( $\sigma$ ) genellikle lineer soğurma katsayısını ( $\mu$ ) üretmek için birleştirilir. Böylece,

$$I = I_0 e^{-\mu x} \quad (14)$$

olur. Bu denklem Lambert-Beer yasası olarak bilinir.  $I$ ;  $x$  mesafesinden geçen fotonların şiddeti,  $I_0$ ; fotonların başlangıç şiddeti,  $\mu$ ; lineer soğurma katsayısı,  $x$ ; fotonların geçtiği mesafedir.



Şekil 7. Elektromanyetik radyasyonun  $dx$  kalınlıklı bir maddeden geçerken soğrulması.

Lineer soğurma katsayısı ( $\mu$ ), soğurucunun kalınlığının başına saçıtıği veya soğurduğu fotonların (X-ışını veya gama ışını) demetinin kesri olarak tanımlanır. Bu değer,

maddenin kübik hacmindeki atomların sayısını ve bu atomların bir elektron veya çekirdekten saçılan ya da soğurulan bir fotonun olasılığını tespit eder.

Lineer soğurma katsayıları gerekli hesaplamlar yapılarak bulunabilir. Bununla birlikte, kütle soğurma katsayısı terimlerinin soğurma yerlerini belirlemek daha kolaydır. Z atom numarası 1 ile 92 aralığındaki bütün elementlerin kütle soğurma katsayılarının tablo ve grafikleri NIST web sitesinde bulunabilmektedir (URL-3, 2012).

### 1.5.2. Kütle Soğurma Katsayısı

Fotonların soğurulmasında soğurucu ortamın kalınlığının yanı sıra yoğunluğu da soğurmanın bir ölçüsüdür. Örneğin suyu düşünelim. Su buhari için lineer soğurma katsayısı, suyun buz hali için olan lineer soğurma katsayısından daha düşüktür. Çünkü buhardaki moleküller daha yaygındır ve bir fotonun bir su parçacığı ile karşılaşıp etkileşmeye girme şansı daha düşüktür. Bu nedenle soğurucu maddeyi onun yoğunluğundan bağımsız olan bir sabit ile belirlemek daha faydalı olur.  $\mu$  değerini, elementin ya da bileşliğin yoğunluğuna bölerek bir parçacık elementi veya bileşik için sabit bir değer uretebiliriz. Bu sabit kütle soğurma katsayısı ( $\mu/\rho$ ) olarak bilinir ve birimi  $cm^2/g$ 'dır.

$$I = I_0 e^{-(\mu/\rho)\rho x} \quad (15)$$

Burada  $\rho x$  ifadesi soğurucunun  $d$  ( $g/cm^2$ ) yüzey yoğunluğudur. Bu ifadeleri denklemde yerine yazarsak aşağıdaki eşitlik elde edilir.

$$I = I_0 e^{-(\mu/\rho)d} \quad (16)$$

Denklemi yeniden düzenleyeceğiz, kütle soğurma katsayısı;

$$\frac{\mu}{\rho} = \frac{1}{d} \ln\left(\frac{I_0}{I}\right) \quad (17)$$

olur. Kristalografide ve dalga boyu değişiminde,  $(\mu/\rho)$  değerinin elde edilebildiği değişik deneysel düzenekler ve teknikler Hubbell ve Creagh tarafından uygulanmış ve

değerlendirilmiştir (Creagh ve Hubbell, 1987, 1990). Bu, kristalografi için uluslararası tablolarda yeni tablolara yol göstermiştir (Creagh ve Hubbell, 1992). Daha sonra,  $(\mu/\rho)$  değeri Gerward tarafından yeniden incelenmiştir (Gerward, 1993). Ölçülen verilerin güncelleşmiş bir bibliyografisi Hubbell tarafından verilmektedir (Hubbell, 1994).

$$\frac{\mu}{\rho} = \sigma_{top}/uA \quad (18)$$

Burada  $u$  atomik kütle birimidir.  $A$ , hedef elementin bağıl atom kütlesidir ve  $\sigma_{top}$  ise hedef elementin foton ile etkileşmesi için toplam tesir kesitidir. Birimi  $b/atom$  ( $barn/atom$ ) ( $b=10^{-24} cm^2$ )'dır.

Soğurma katsayısı, foton etkileşme tesir kesitleri ve ilgili nicelikler foton enerjisinin fonksiyonlarıdır. Toplam tesir kesiti başlıca foton etkileşmelerinden gelen katkıların toplamı gibi yazılabilir.

$$\sigma_{top} = \sigma_{pe} + \sigma_{coh} + \sigma_{incoh} + \sigma_{pair} + \sigma_{trip} + \sigma_{ph.n.} \quad (19)$$

Burada  $\sigma_{pe}$  fotoelektrik tesir kesiti,  $\sigma_{coh}$  ve  $\sigma_{incoh}$  koherent (Rayleigh) ve inkoharent (Compton) saçılma tesir kesiti,  $\sigma_{pair}$  ve  $\sigma_{trip}$  çekirdeklerin ve atomik elektronların alanlarında elektron-pozitron oluşumu için tesir kesitleridir,  $\sigma_{ph.n.}$  ise fotonükleer tesir kesitidir.

Foton ve çekirdeğin fotonükleer soğurması, genellikle proton ve nötronlardan birinin veya fazlasının fırlatılmasıyla sonuçlanır. Bu etkileşme, hedef çekirdeğe düşen dev rezonans bölgesini kapsayan 5 ve 40 MeV arasında herhangi bir yerde meydana gelen oldukça dar bir enerji bölgesinde toplam foton etkileşme tesir kesiti için %5-10 kadar katkıda bulunabilir. Bu etkileşmenin etkileri toplam soğurma katsayıları ölçümlerinde gözlenebilir. Z atom numarası 1'den 92'ye kadar olan elementler için ve foton enerjileri 1 keV'den 20 MeV'e kadar olan elementler için sonuçlar bulunabilir (Hubbell ve Seltzer, 1995). Bunlar aşağıdaki bağıntıya göre hesaplanır.

$$\frac{\mu}{\rho} = \frac{\sigma_{pe} + \sigma_{coh} + \sigma_{incoh} + \sigma_{pair} + \sigma_{trip} + \sigma_{ph.n.}}{uA} \quad (20)$$

### 1.5.3. Kütle Enerji Soğurma Katsayısı

Kütle enerji soğurma katsayısını ( $\mu_{en}/\rho$ ) hesaplamak için kullanılan metodlar muhtemelen kütle enerji-transfer katsayısı ( $\mu_{tr}/\rho$ ) kullanılarak daha açıkça tanımlanır. Kütle transfer katsayısı ( $\mu_{tr}/\rho$ ) foton enerji akısı  $\psi$  ( $\psi = \phi E$ ,  $\phi$  foton akısı,  $E$  foton enerjisi) ile çarpıldığı zaman dozimetrik kerma niceliğini verir. Kerma (Carlsson, 1985) kütle başına yüksüz tanecikler (fotonlar) tarafından yayınlanan birincil yüklü taneciklerin tamamının kinetik enerjisinin toplamı olarak tanımlanır ve bu tanımlamanın baş harf kısaltmasıdır. Bu nedenle ( $\mu_{tr}/\rho$ ), birincil çift üretiminde (üçlü üretim) meydana gelen pozitronların yok edilmesinden oluşan kesikli radyasyonun ilavesiyle, birincil foton atom etkileşmesinde üretilen ikincil foton radyasyonlarının kaçaklarını hesaba katar. Böylelikle ( $\mu_{tr}/\rho$ ) şu şekilde tanımlanır:

$$\frac{\mu_{tr}}{\rho} = \frac{(f_{pe}\sigma_{pe} + f_{incoh}\sigma_{incoh} + f_{pair}\sigma_{pair} + f_{trip}\sigma_{trip})}{uA} \quad (21)$$

Koherent saçılma, onunla ilişkili ihmali edilebilir enerji transferinden dolayı hesaba katılmamıştır.  $f$  faktörleri, geri kalan etkileşme tiplerinde yüklü parçacıkların kinetik enerjisine transfer edilmiş olan  $E$  foton enerjisinin ortalama kesrini temsil eder. Bu enerji transfer kesri;

$$f_{pe} = 1 - (X/E) \quad (22)$$

olarak verilir. Burada  $X$ , soğurulan foton başına yayınlanan floresans radyasyonun (karakteristik X-ışınları) ortalama enerjisidir.

$$f_{incoh} = 1 - (\langle E' \rangle + X)/E \quad (23)$$

$\langle E' \rangle$ , Compton saçılma fotonunun ortalama enerjisidir.

$$f_{pair} = 1 - 2mc^2/E \quad (24)$$

$mc^2$ , elektronun durgun enerjisidir.

$$f_{trip} = 1 - (2mc^2 + X)/E \quad (25)$$

X-ışını floresans enerjisi, olayda üretilen atomik-elektron boşluklarının dağılımına bağlıdır ve genellikle fotoelektrik soğurma, inkoherent saçılma ve üçlü üretim için farklı bir şekilde değerlendirilir. Dahası, X'in birincil boşluk tarafından başlatılan bütün atomik relaksasyon işlemleriyle birlikte ardışık floresans X-ışınları yayımını içerdigi varsayılar (Carlsson, 1971). Çünkü sadece hedef atomun özelikleri  $\mu_{tr}/\rho$  hesaplanması dâhil edilir. Homojen karışımlar ve bileşikler için kütte enerji-transfer katsayısı benzer şekilde gözlemlenebilir.

$$\frac{\mu_{tr}}{\rho} = \sum w_i (\mu_{tr}/\rho)_i \quad (26)$$

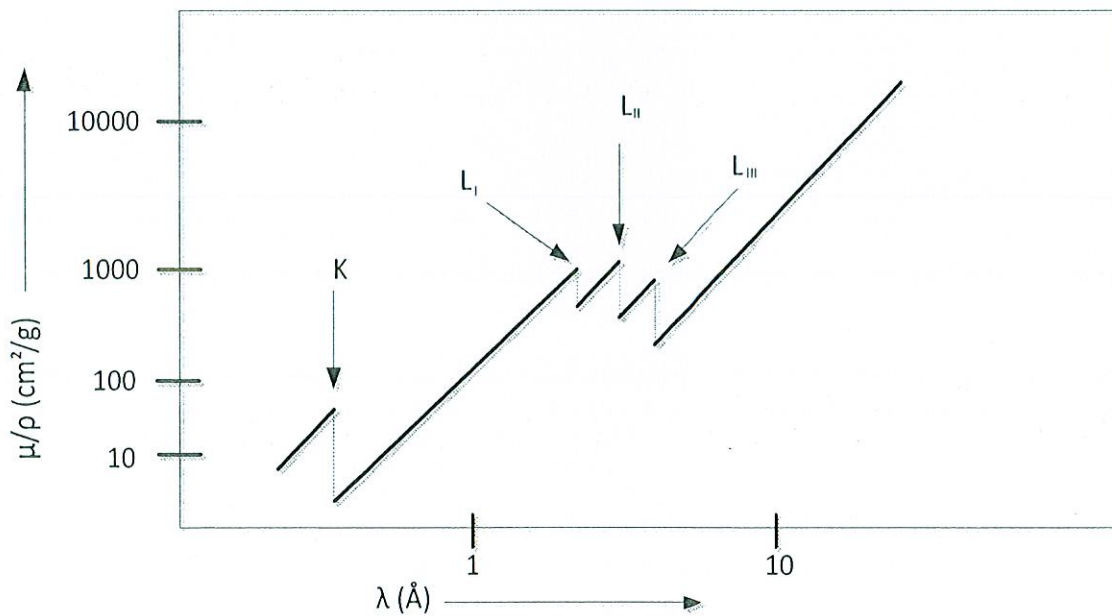
Kütte soğurma katsayısı, ortamda dolaşan yüklü parçacıklar tarafından üretilen daha uzak radyasyon yayımını içerir.

$$\frac{\mu_{en}}{\rho} = (1 - g) \mu_{tr}/\rho \quad (27)$$

Eşitlikteki  $g$  faktörü, parçacıklar ortamda kalmak için yavaşladığı için ışimalı (foton yayılan) enerji kayıp süresinde ardışık olarak kaybolan ikincil yüklü parçacıkların (tüm tip etkileşmelerde üretilen) kinetik enerjisinin ortalama kesrini ifade eder.  $g$ 'nin değerlendirilmesi, yavaşlama esnasında parçacıklar tarafından oluşturulan kısmı iz uzunluğu dağılımı üzerinden ilgilenilen ışimalı olay için tesir kesitinin toplanmasıyla yapılır. Sürekli yavaşlama yaklaşımında iz uzunluğu dağılımı, ortamın elektron veya pozitron toplam durdurma gücünün tersiyle yer değiştirir. Durdurma gücü için Bragg katkısının varsayılmaya bile (integralin paydasında görülür),  $g$  veya  $\mu_{en}/\rho$  için basit bir katkı usulen yanlıştır.  $g$ 'nin sayısal değerleri relativ olarak küçük olduğu zaman, basit ilave planların kullanılmasından kaynaklanan  $\mu_{en}/\rho$ 'deki hatalar özellikle 20MeV üzerindeki foton enerjileri için genellikle küçüktür.

### 1.5.4. Soğurma Kıyıları

Bir elektromanyetik radyasyonun enerjisi dalga boyu ile ters orantılıdır. Kısa dalga boylu fotonlar, daha büyük bir enerjiye ve etki gücüne sahiptir. Bir atomun herhangi bir yörüngeinden elektron sökebilecek en küçük enerjili veya en büyük dalga boylu fotonun enerjisine, atomun o enerji seviyesinin soğurma kiyısı denir. Her atomun birden çok soğurma kiyısı vardır. Bunun sebebi atomların farklı uyarma potansiyellerine sahip olmalarıdır. Her element uyarma potansiyeli sayısınca soğurma kiyisına sahiptir. Her element için soğurma kiyısı, çekirdeğe yaklaşıkça azalır. Kuantum sayılarından hatırlanacağı gibi atomda her tabakaya ait  $(2n-1)$  tane alt kabuk bulunmaktadır. K tabakasında bir alt kabuk olup soğurma kiyısı  $K_{ab}$  olarak adlandırılır. L tabakasının üç alt kabuğu olup, soğurma kiyıları  $L_{Iab}$ ,  $L_{IIab}$ ,  $L_{IIIab}$  olarak adlandırılır. M tabakasında ise beş alt kabuk ve beş soğurma kiyısı mevcuttur (Kavgacı, 2007). K ve L tabakalarına ait soğurma kiyıları şekildeki gibidir.



Şekil 8. Kütle soğurma katsayısının dalga boyuna göre değişimi.

Kiyılar arasında kütle soğurma katsayıları ile dalga boyu arasında aşağıdaki gibi bir ilişki vardır.

$$\frac{\mu}{\rho} = K \lambda^u Z^v \quad (28)$$

Burada  $K$ ,  $u$  ve  $v$  sabitlerdir.  $K$ 'nın değeri her bir soğurma kiyısında değişir.  $u$  ve  $v$ ,  $\lambda$  ve  $Z$ 'nin belli bir yere kadar fonksiyonlarıdır ve yaklaşık olarak değerleri sırasıyla 3 ve 4'tür. Bu genel açıklamaya deneysel olarak türetilen başka terimler de eklenmiştir. Bunlardan en uygun olanı Dr. Keith Norrish (1969) tarafından türetilen,

$$\frac{\mu}{\rho} = (A + BZ + CZ^2)^3 \lambda^n \quad (29)$$

eşitliğidir. Burada  $A$ ,  $B$ ,  $C$  ve  $n$  değerleri her bir soğurma kiyısında değişir ve  $n$ ,  $Z$ 'nin bir fonksiyonudur.

Bazı kütle soğurma katsayılarını özellikle uzun dalga boylu X-ışını radyasyonu ya da radyasyonun büyük bir kısmını çok kısa mesafesinde soğuran ağır soğurucular için ölçmek oldukça zordur. Bu yüzden soğurma katsayılarını deneysel ölçümllerin daha uygun olan bölgelerinden ekstrapolasyonla hesaplamak gereklidir.

Her bir elementin soğurma kiyıları ile karakteristik spektrumları arasında açık bir ilişki vardır.  $K$ ,  $L$ ,  $M$  spektral serileri ve bunların dışındaki serilerde bulunan en kısa dalga boylarında soğurma kiyıları vardır ve karşılıklı ilişki  $K$ ,  $L_I$ ,  $L_{II}$ ,  $L_{III}$ ,  $M_I$  gibi tanımlanmış olan kiyiya izin verir. Bu yüzden bir elementin  $K$  soğurma kiyısı daima bu elementin  $K_{\beta_2}$  yayımından daha kısa dalga boylarında (veya daha büyük enerjilerde) bulunur. En yüksek enerji çizgisi normal olarak  $K$  spektrumunda bulunur.

Soğurma kiyısından daha büyük enerjili fotonlar fotoelektrik soğurma yoluyla büyük oranda soğurulmuş olacaklardır. Hâlbuki soğurma kiyisinin hemen altında daha düşük enerjili fotonlar bu geçiş seviyesinde iyonlaşmaya neden olacak yeterli enerjiye sahip olamayacak ve büyük oranda soğurulmayacaklardır (Williams, 1987).

## 1.6. Radyasyon Dedektörleri

Radyasyon dedektörleri, yüklü parçacıkların ve fotonların belli ortamlarda iyonlaşma meydana getirmeleri gerçeğinden hareketle yapıllırlar. Parçacıkların, geçtikleri ortamda iyonlaştırma, parıldama ve benzeri etkilere sebep olma özelliklerinden yararlanılarak değişik dedektörler geliştirilmiştir.

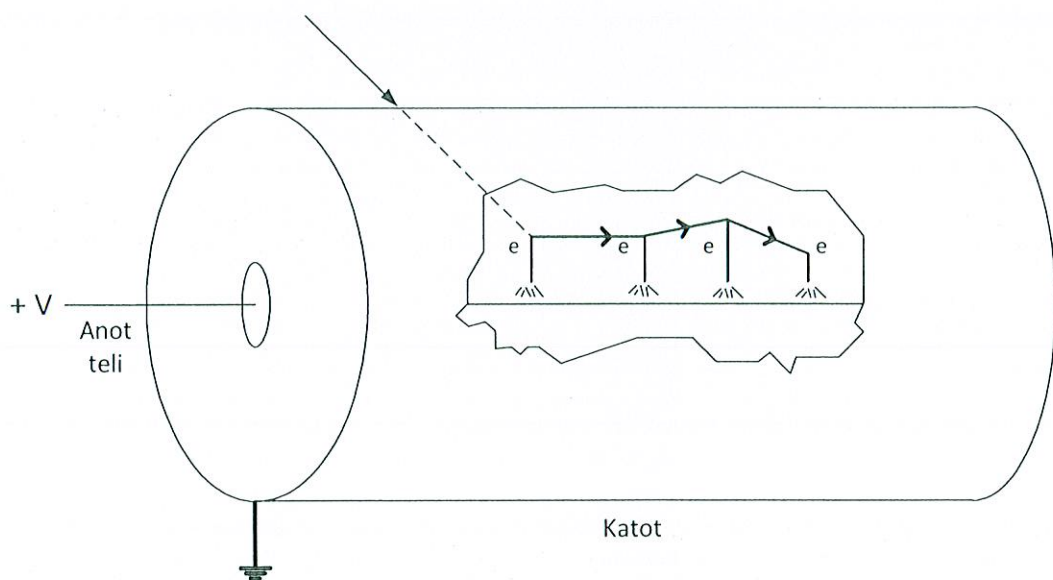
### 1.6.1. Gazlı Sayaçlar

Nükleer radyasyon dedektörlerinin pek çoğu, detektöre gelen radyasyonun oluşturduğu iyonları (veya elektronları) ayırmak ve saymak için bir elektrik alan kullanır. En basit tipte bir dedektör iyonlaşma odasıdır. Bunlar, plakalarının arasına gaz (daha çok hava) doldurulmuş paralel düzlem kondansatörlerdir. Plakalar arasındaki elektrik alan, iyonların elektronlarla tekrar birleşmesini engeller. Elektron bulutu pozitif potansiyelde tutulan plakaya doğru sürüklendirken, pozitif yüklü iyonlar da diğer plağa doğru sürüklendirler. Bu düzenekte mevcut radyasyon miktarı iyonlaşma miktarı ile orantılı olup akımölçerle belirlenir. Havada bir iyon üretmek için gerekli ortalama enerji 34 eV'tur; böylece 1 MeV'lik radyasyon en çok  $3 \cdot 10^4$  civarında iyon ve elektron üretir. Orta büyüklükte bir ionizasyon odası için oluşan voltaj pulsları nispeten küçük bir sinyaldir ve analizden önce standart elektronik düzeneklerle yükseltilmelidir. İyon odaları X,  $\gamma$  ışınları ve  $\beta$  parçacıkları ölçümdede kullanılır. Alçak radyasyon şiddetine duyarlı olmamakla beraber yüksek doz şiddetlerini ölçümede son derece yararlıdır. Çeşitli radyasyonları ayırt etme özelliği yoktur. 60-300 voltluç çalışma aralığında etkindir. Gaz olarak genellikle atmosfer basıncında hava kullanılır.

Bir gazlı dedektörü her pulsu gözlelemek için kullanmak istersek pulsalar önceli derecede yükseltilmelidir. Bunu yapmanın yollarından birisi voltajı daha fazla artırmaktır (genellikle 1000 V kadar). Daha büyük elektrik alan, iyonlaştırma işlemi sonucunda çıkan elektronları daha çok hızlandırır ve gaz atomlarıyla daha çok elastik çarpışmalar yaparak sürüklenen elektronlar bu kez elastik olmayan çarpışmalar yapmak için yeterli enerjiyi kazanabilirler ve hatta yeni iyonlaşmış atomlar üretebilirler. İkincil iyonlaştırma üretimi ile gerçekleşen hızlı yükselmeye Townsend çığı denir. Her birincil iyon için çok sayıda ( $10^3 - 10^5$ ) ikincil olay olmasına rağmen, sayaç daima, ikincil olayların sayısı ilk olayların sayısı ile orantılı olacak şekilde çalışır. Bu yüzden bu sayaçlara orantılı sayaç denir. Bir orantılı sayacın geometrisi genellikle silindiriktir. Bu geometride bir r yarıçapındaki elektrik alan şu şekilde verilir:

$$E(r) = \frac{V}{r \ln\left(\frac{b}{a}\right)} \quad (30)$$

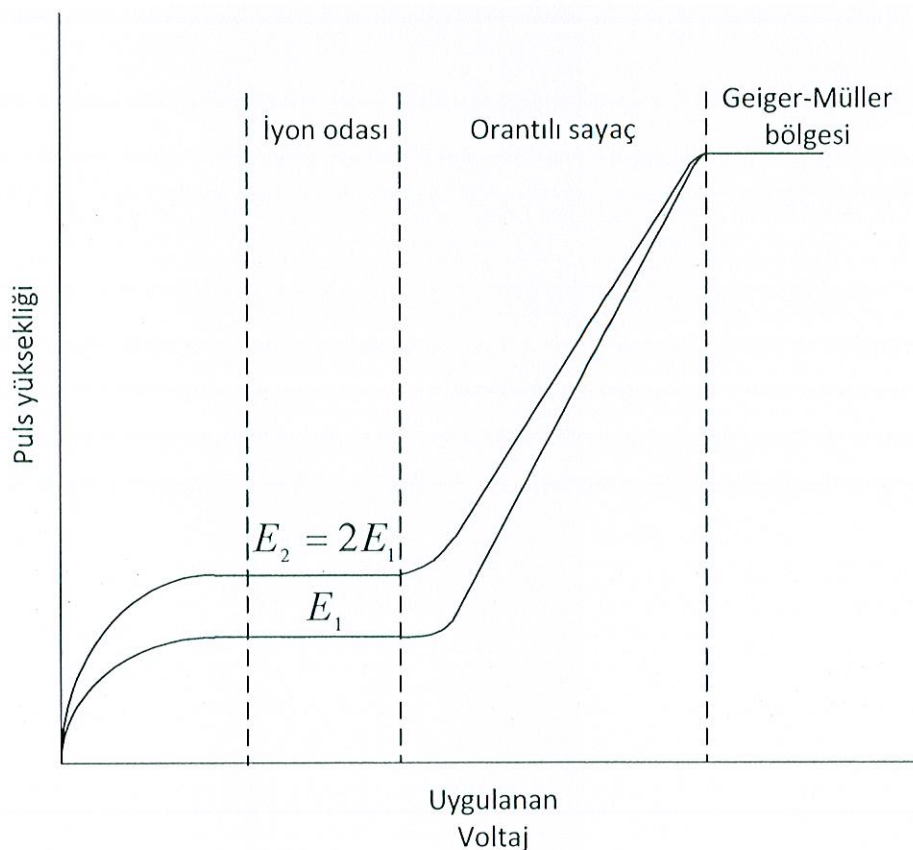
Burada  $b$ , katodun iç yarıçapı ve  $a$ , anot telinin dış yarıçapıdır. Çığların anot telinin yakınındaki yüksek alan bölgesinde oluşacakları açıklır. Ancak bu bölge sayaç hacminin çok küçük bir kısmıdır. İlk iyonların çoğu bu merkezi bölgeden uzakta meydana gelir, elektronlar çığ oluşturma işlemine başlayincaya kadar yavaşça sürüklendirler. Orantılı sayacın çıkış sinyalleri esas olarak çok hızlı oluşan çığ işleminden kaynaklandığı için bu süre birincil iyonların oluşturduğu noktadan çığın olduğu anot telinin civarına kadar birincil elektronların sürüklendirme zamanı ile belirlenir. Bu zaman  $\mu$ s mertebesindedir ve sayaç,  $10^6/s$  mertebesinde sayma hızındaki bir puls modunda çalıştırılabilir. Bu tip detektörlerle; düşük enerjili X ve gama ışınları, iyon odasına açılan naylon veya mikalardan yapılmış ince pencere ile alfa parçacıklarının ölçümü yapılır. Gazın çoğaltma faktörü  $10^5 - 10^6$  ve çalışma voltaj aralığı 1500-4000 V'tur. Orantılı cihazların  $\alpha$  ve  $\beta$  radyasyonlarını ayırt etme özelliği vardır.



Şekil 9. Orantılı sayaç.

Eğer elektrik alan daha büyük değerlere çıkarılırsa ikincil çığlar oluşur. Bunları ilk çığdaki uyarılmış atomlar tarafından yayılan fotonlar başlatır. Bu fotonlar birincil çığın olduğu bölgeye göre biraz daha uzakta hareket ederler ve hemen hemen tüpün tamamı işleme katılmış olur. Yükselme çarpanı  $10^{10}$  kadardır. Bütün tüp her olay için işleme katıldığından orijinal radyasyon enerjisi hakkında tam bilgi mevcut değildir, gelen tüm radyasyonlar özdeş çıkış pulsları üretirler. Bu çalışma bölgesine Geiger-Müller bölgesi denir ve sayaçlar bu ilkeye dayandıkları için Geiger sayaçları olarak adlandırılırlar. Geiger

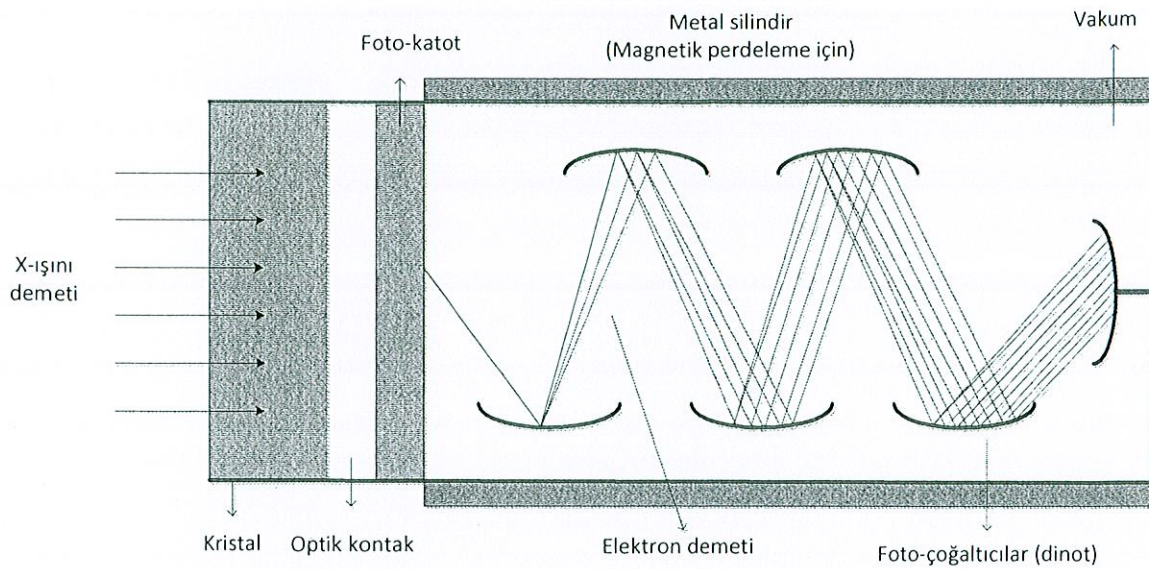
sayaçları portatif radyasyon monitörleridir (Krane, 2006). İncelemede saymanın başladığı potansiyel farkına eşik potansiyeli denir. Kesin bir yükselişten sonra sayma hızı, artan voltaja rağmen hemen hemen sabit kalır. Bu yassı bölgeye de plato ya da Geiger bölgesi denir. Sayacın bu bölgede çalıştırılması çok uygundur.



Şekil 10. Farklı gazla doldurulmuş sayaçlar tarafından meydana getirilen puls yükseklikleri.

### 1.6.2. Sintilasyon (Parıldama) Sayacı

Radyasyon enerjisini önce parıldatıcı ile etkileşen fotonlara, bu fotonların fotoçoğaltıcı tüp içerisindeki fotokatottan kopardığı elektronların ise dinotlar vasıtasıyla çoğalarak yüksek miktarda anoda gelen elektrik sinyali oluşturmamasına dayanan dedektörlere parıldama dedektörleri denir. Radyasyon enerjisini ışık fotonlarına dönüştürmek için kullanılan maddelere parıldatıcı adı verilir.

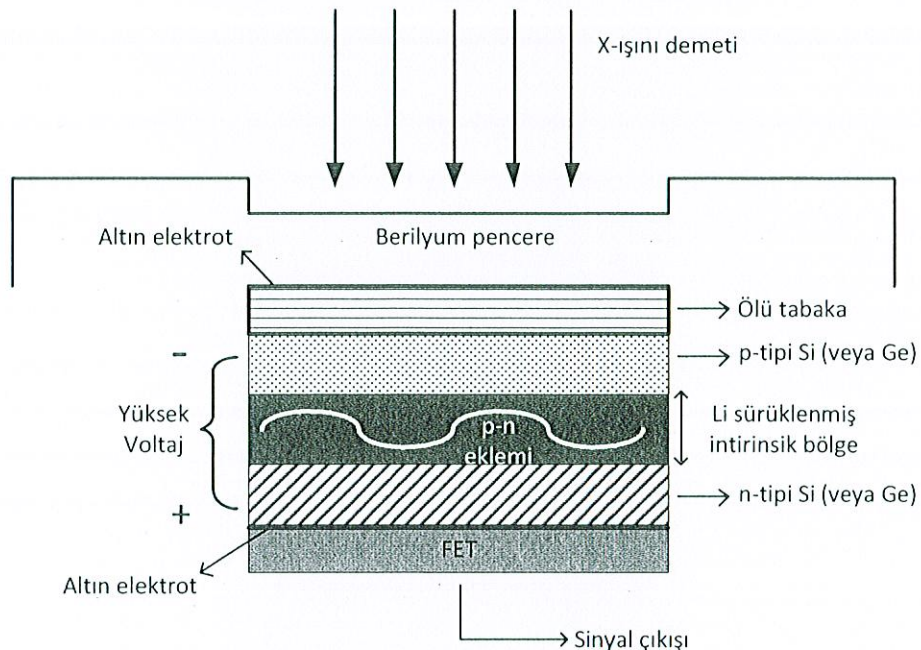


Şekil 11. Sintilasyon dedektörü.

Sintilasyon sayacında gelen radyasyon dedektöre girer ve atomları uyarılmış düzeylere çıkan çok fazla sayıda etkileşme yapar. Uyarılmış durumlar hızla, görünür bölgede (veya görünür bölgeye yakın) ışık yayınlarlar. Böyle materyallere floresans madde denir. Görünür bölge fotonları katota çarpar ve fotoelektrik olay yolu ile foton başına en çok bir fotoelektron salınmasına neden olur. Bu elektronlar, elektrik alan sayesinde fotoçoğaltıcı tüp içerisinde bulunan dinot adı verilen metal bir plakaya doğru hızlandırılırlar. Dinoda çarpan elektronlar, birçok elektronun serbest bırakılmasını sağlar. İlk dinottan çıkan elektronlar, elektrik alan sayesinde ikinci dinoda hareket eder ve bu böylece devam eder. Fotoçoğaltıcı tüpe gelen foton sayısı son dinottaki yük miktarı ile orantılıdır. Foton sayısı, kristale gelen gama ışın sayısı ile böylelikle çıkış voltajı da gelen gama ışını ile orantılıdır. Dedektör sintilatör, optik kuplaj ve fotoçoğaltıcı tüp olmak üzere üç kısımdan oluşur. Bir sintilatörün çalışmasını anlamak için enerjinin soğurularak, elektronların uyarılmış durumlara çıkışıyla ilgili mekanizmayı göz önüne almak gereklidir. Temel olarak iki tip sintilasyon dedektörü vardır, birisi organik diğeri inorganik sintilasyon dedektöridür. Sintilasyon dedektörleri, yüksek sayma hızına sahiptir. Kısa ayırma zaman aralıklarına sahiptir. Gama ölçümleri için yüksek verim sağlar. Radyasyon türlerini ( $\alpha, \beta, \gamma$ ) ayırma özelliğine sahiptir. Yayınlanan radyasyonun enerji ölçümü mümkündür. Çeşitli şekil ve büyülükte yapılabilmeye kolaylığına sahiptir.

### 1.6.3. Yarıiletken Dedektörler

Tipik bir katıhal dedektörü şekilde gösterilmiştir.



Şekil 12. Yarıiletken dedektör.

Dedektör, en uygun ayırma gücünü elde etmek ve gürültüyü azaltmak için sıvı azot sıcaklığında (-196 °C) tutulmaktadır. Bunun için sayaç kristali ve FET (alan etkili transistör) içerisinde sıvı azot bulunan bir kaba yerleştirilmiştir. Dedektör, dış ortamdan gelebilecek yüzey kirlenmesini önlemek için bir berilyum pencere ile koruma altına alınmıştır. E enerjili bir foton sayacın aktif bölgesine düştüğünde kristalin (silisyum ya da germaniyumun) atomlarını iyonlaştırır. Foton, enerjisinin tamamını fotoelektronlara verir. Fotoelektronlar, enerjileri bitinceye kadar yolu boyunca elektron delik çifti oluşturarak dedektör kristali içerisinde hareket ederler.

Bu dedektörler, ters besleme voltajlarıyla (1000-3000 V) çalıştırılırlar. Bu voltaj iki etkiye sahiptir: tükenme bölgesindeki elektrik alan büyülüğünü, yük birikimini daha verimli yaparak artırır ve bir tip materyalden diğerine daha fazla yük taşıyıcısını sürükleyecek bir kuvvet uygulayarak tükenme bölgesinin boyutlarını (dolayısıyla dedektörün duyarlı hacmi artırılır) artırır. Dedektöre uygulanan ters besleme potansiyeli bir elektrik alan oluşturur. Oluşan elektrik alan, fotonlar tarafından üretilen elektron delik

çiftlerini toplar. Ters beslemeden dolayı elektronlar n-tipi bölgeye, delikler ise p-tipi bölgeye yönelirler. Sonuçta dedektör üzerine gelen fotonun enerjisile orantılı sayıda elektron delik çifti oluşur. p ve n tipi bölgelerde elektrik alan vasıtasyyla toplanan yükler, bir FET devresiyle akım pulsundan potansiyel pulsuna dönüştürülür. Elektronik bir sistem vasıtasyyla potansiyel pulsu, puls yükseklik analizöründe enerjisine karşılık gelen kanala atanır.

Karakteristik X-ışınları hem enerjileri birbirine yakın hem de genel olarak düşük enerji bölgesinde yer almaktadırlar. Bundan dolayı, dedektör seçiminde bu enerji bölgesindeki verimi ve ayırma gücü (rezülasyon) çok iyi olan yarıiletken dedektörler tercih edilmektedir. Bir dedektörün rezülasyonu ve yarı maksimumdaki tam genişliği (FWHM), o dedektörün kullanıldığı enerji aralığındaki enerjiyi tam olarak ifade eder. Dedektör rezülasyonu genellikle R ile gösterilir ve aşağıdaki bağıntı ile ifade edilir.

$$R = \frac{W}{V} \quad (31)$$

Burada W, yarı maksimumdaki puls genişliği ve V ise ortalama genişliktir.

Bir pikin yarı maksimumdaki tam genişliği (FWHM) ise;

$$FWHM = W \times E \quad (32)$$

şeklinde verilmektedir. Burada E, elektronvolt cinsinden foton enerjisidir. Rezülasyonu en iyi olan dedektörler yarıiletken dedektörlerdir.

Yarıiletken dedektörler birçok sebepten dolayı diğer radyasyon dedektörlerinden daha yüksek enerji çözünürlüğüne sahiptir. Çözünürlüğü iyi olan bir dedektör, aynı foton enerjiside diğer dedektörlere göre daha fazla çıkış sinyaline sahiptir. Bu nedenle yarı iletken dedektörler, diğer dedektörlere oranla daha fazla tercih edilirler.

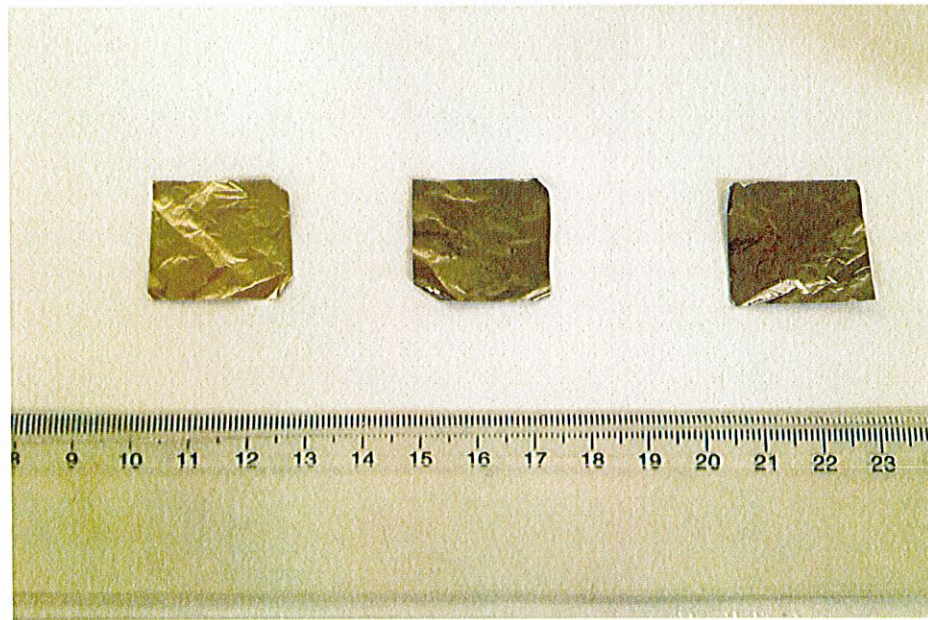
## 2. YAPILAN ÇALIŞMALAR

### 2.1. Kullanılan Malzemeler

Bu çalışmada soğurucu malzeme olarak nikel (Ni), molibden (Mo) ve tantalum (Ta) kullanılmıştır. Malzemeler Alfa Aesar firmasından alınmıştır ve özellikleri aşağıdaki tabloda verilmektedir.

Tablo 1. Soğurucu maddeler ve özellikleri

Soğurucular	Simge	Atom numarası	Yoğunluk (g/cm <sup>3</sup> )	Kalınlık (mm)	Saflik (%)
Nikel	Ni	28	8,908	0,0025	99,95
Molibden	Mo	42	10,280	0,0025	99,90
Tantalyum	Ta	73	16,650	0,0025	99,90



Şekil 13. Soğurucular

## 2.2. Kolimatörlerin Hazırlanması

Yapılan deneylerde kullanılan kolimatörler kurşun malzemeden yapılmıştır. Kolimatörler, 2mm, 4mm, 6mm ve 10mm çaplarında olmak üzere dört çeşit üretilmiştir.



Şekil 14. Kolimatörler.

## 2.3. Kullanılan Dedektör ve Ölçüm Sistemi

Deneyclerde kullanılan dedektör Ultra LEGe'dir. Dedektöre ait özellikler aşağıdaki tabloda verilmiştir.

Tablo 2. Ultra LEGe dedektörünün özellikleri

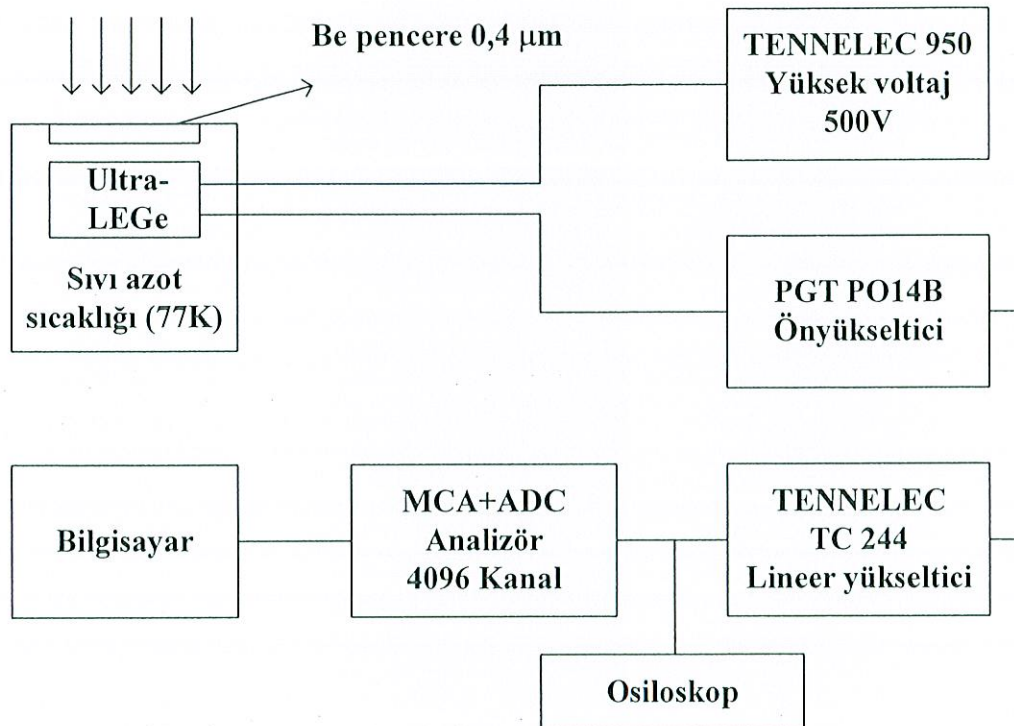
Aktif çap	Aktif alan	Pencereden uzaklık	Pencere kalınlığı	Pencere malzemesi	Çalışma voltajı
6,2 mm	30 mm <sup>2</sup>	5 mm	0,4 mikron	polimer	-500 V

Dedektörün 5,9 keV'deki çözünürlüğü (FWHM) 150 eV ve 122 keV'deki çözünürlüğü ise 550 eV'tur. Dedektöre sıvı azot doldurulduktan sonra bekleme süresi 4 saat ve günde tüketilen sıvı azot miktarı 1,8 litredir.



Şekil 15. Ultra LEGe dedektörü.

### 2.3.1. Sayma Sistemi



Şekil 16. Sayma sisteminin şematik gösterimi.

Şekil 16'da sayma sistemini oluşturan devre elemanları ve bağlantıları görülmektedir. Görüldüğü gibi bir sayma sistemi; bir dedektör, ön yükseltici, yükseltici, analog sayısal dönüştürücü, Puls yükseklik analizörü, osiloskop ve bir yüksek voltaj kaynağından oluşmaktadır.

#### 2.3.1.1. Yüksek Voltaj Kaynağı

Dedektörde meydana gelen yükleri toplamak için bir yüksek voltaj dedektör üzerine uygulanmaktadır. En iyi çalışma voltajı genellikle üretici firma tarafından belirlenir ve küçük bir dedektör için birkaç yüz voltajdan, büyük bir dedektör için 4000V'un üstüne kadar değişebilir (Debertin ve Helmer, 1988).

### 2.3.1.2. Ön Yükseltici

Modern bir yarıiletken dedektör sistemi ile bir yükle hassas ön yükseltici kullanılır. Elektronik gürültüyü en az indirmek için, genellikle bir alan-etkili transistör (FET) alan ön yükselticinin girişi dedektörle aynı tarzda soğutulur, yani sıvı azot sıcaklığında tutulur. Ön yükseltici çalışmasını iyileştirmek için FET'in sıcaklığı oda sıcaklığında olan dedektörün dış muhafazasından içeriye biraz ısı sızmasına izin verilerek dedektörden daha sıcak tutulabilir. Ön yükseltici dedektörden gelen yük pulsunu voltaj pulsuna dönüştürür. Ön yükselticiden çıkan pulsların yükseklikleri veya genlikleri dedektörde toplanan yük miktarı ile doğru orantılı olmalıdır ve eğer fotonun tüm enerjisi dedektörde soğurulmuşsa fotonun enerjisiniyle doğru orantılı olmalıdır (Debertin ve Helmer, 1988).

### 2.3.1.3. Yükseltici

Bir yükselticinin iki ana görevi vardır;

- Ön yükselticinin çıkış puls genliklerini ayırt edilme ve sayılma için uygunvoltaj seviyelerine yükseltme
- Pulsları, puls genliği ve X-ışını fotonu arasındaki orantılı ilişkisiyi tamamen sürdürerek işleme uygun bir forma sokmak.

Modern sistemler için maksimum çıkış pulsunun genliği 2V'tan 10V'a kadar değişir. Çoğu amplifikatör hem bir unipolar çıkış (sinyalin pik kısmı tamamen pozitif veya tamamen negatifdir) hem de dipolar çıkış (sinyal hem pozitif hem de negetif bileşenlere sahip ile donatılmıştır). En iyi sinyal gürültü (signal-to-noise) oranını elde etmek için, yükselticinin unipolar çıkışını seçilir. Kullanıcının bilerek seçmesi gereken başka bir yükseltici denetimi puls genişliğini belirleyen 'shaping time' sabitidir. Bir spektrumdaki pikler için en iyi regülasyon genellikle o zaman sistem daha uzun bir zaman üzerinden gürültünün ortalamasını alabileceği için daha uzun bir zaman sabitiyle elde edilebilir. Bununla birlikte, daha uzun zaman sabitleri daha fazla rastgele toplamaya da neden olur. Bundan dolayı, eğer sistem  $2000 \text{ s}^{-1}$ 'lik sayma hızlarında çalıştırılabilseceğe daha kısa zaman sabitleri kullanılabilir (Debertin ve Helmer, 1988).

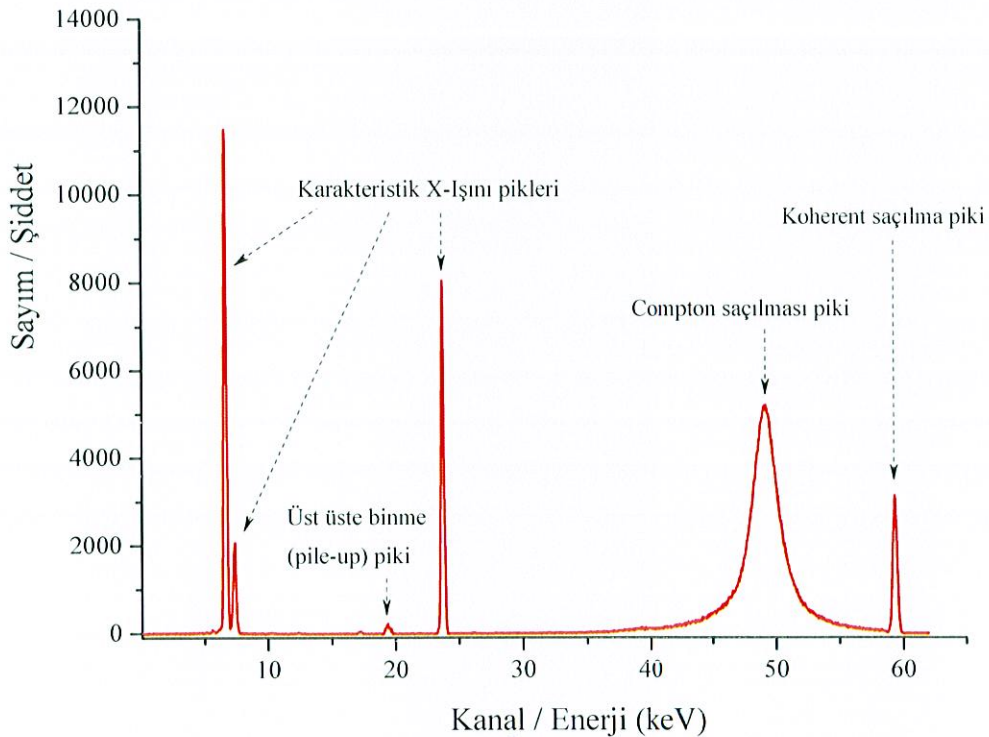
#### **2.3.1.4. Analog Digital Çevirici**

Analog sayısal dönüştürücünün (ADC) amacı yükselticiden gelen analog pulsu, onun genliğiyle dolayısıyla X-ışını fotonunun enerjisini orantılı bir tam sayıya çevirmektir. Bu işlemde analog sayısal dönüştürme işlemi denir. Sayılmış olan her bir puls yüksekliği kadar sayı analizörün hafızasında birikir. Sonuçta bu bilgi bir enerji spektrumu olarak ekrana aktarılır (Debertin ve Helmer, 1988).

#### **2.3.1.5. Çok Kanallı Analizör**

Çok kanallı analizör sayısal hale getirilmiş pulsları kanallara yerleştirerek bilgisayar hafızasında kaydeder. Esasında, her bir kanal depolama yapmak için kullanılan bir kutudur ve X-ışını spektrumunda kesin olarak kalibre edilmiş sayısal enerji aralığı olan bir enerji aralığına düşen pulsları sayar. Kalibrasyon işlemi standart kaynaklar kullanılarak ölçüme başlamadan önce yapılır.

### 2.3.2. X-ışını Spektrumlarının İncelenmesi



Şekil 17. İdeal bir X-ışını spektrumu.

#### 2.3.2.1. Koherent Pikler

Uygun bir geometride uyarıcı kaynaktan çıkan birincil fotonlarının doğrudan sayacı görmeleri önlenebilmesine rağmen spektrumda uyarıcı kaynak ışınlarının enerjilerine karşılık gelen enerjide spektrum pikleri meydana gelmektedir. Bu pikler kaynak ışınlarının numuneden koherent bir şekilde yani enerjilerini kaybetmeden aynı fazlı olarak saçılması neticesinde meydana gelmektedir.

#### 2.3.2.2. Compton Pikleri

Uyarıcı kaynaktan çıkan ve numuneden Compton saçılmasına uğrayarak bir miktar enerjisini kaybeden fotonlara ait bu pik koherent pikinin düşük enerji bölgesinde meydana

gelir. Numunenin iç kısmında meydana gelen karakteristik X-ışınlarının bir veya birkaç kez Compton saçılmasına uğramaları mümkündür. Ayrıca sayaca ulaşan fotonlar da sayaç kristalinde Compton saçılmasına uğrayabilirler. Numune ve sayaçtaki saçılmalardan ve sayaçtaki tuzaklanmalardan dolayı gerek Compton pikinin gerekse diğer piklerin düşük enerjili yamaçları, yüksek enerjili yamaçlarına kıyasla daha az diktir. Sayaçta meydana gelen Compton saçılmasından dolayı spektrumun en düşük enerjili kısmında yüksek temel saymalı bir bölge meydana gelir.

Sayaç içi Comptonlardan, üst üste binnelerden ve tamamlanmamış yük toplanmalarından dolayı spektrumda bir baştan diğer başa temel sayma meydana gelir.

### **2.3.2.3. Karakteristik X-ışını Pikleri**

Uyarılma sonucu numuneden yayınlanan karakteristik X-ışını pikleri, kolimatör ve kaynak maddesinin karakteristik X-ışını pikleri enerjilerine bağlı olarak koherent saçılma tepesinin düşük enerjili tarafında meydana gelir. Dedektöre gelen X-ışınları, ölü tabakadaki sayaç atomlarını uyarabilir. Buradan yayınlanan sayaç atomlarının karakteristik çizgileri, numuneden gelenler gibi sayılırlar ve dedektör maddelerinin karakteristik çizgileri olarak kaydedilirler.

### **2.3.2.4. Auger Pikleri**

Uyarılmış bir atomun yayıldığı karakteristik X-ışını yine aynı atomun daha dışındaki kabuklardan elektron sökebilir. Numunenin Auger elektronlarının spektrumu soğurulan X-ışını tepesinin düşük enerji kısmında yer alır. Bu olay elektronları daha az bağlanma enerjisisiyle bağlı bulunan düşük atom numaralı elementlerde, büyük atom numaralılardan daha çok meydana gelir. (Bertin, 1975)

### **2.3.2.5. Üst Üste Binme (Pile-up) Pikleri**

İki atom aynı anda veya elektronik sistemin pik ayırma zamanından daha kısa bir zaman aralığı ile sayaç gelirse sisten bu iki foton için tek puls verir. Bu pulsun büyüklüğü onu meydana getiren foton pulslarının ayrı ayrı büyüklükleri toplamına; iki puls arasındaki zaman ne kadar küçükse o kadar yaklaşır. İkinci veya daha yüksek mertebelerden de üst

üste binme pulslarının meydana gelmesi mümkündür. Tamamlanmış yük toplanması ve üst üste binme etkileri, keskin piklerin genişlemesine ve kaymasına sebep olur.

#### **2.3.2.6. Kaçak (escape) Pikler**

Kaçak pik alanını asıl pik alanına oranı, asıl piklerin düşük enerjili bölgelerinden sayaç maddesinin soğurma kıyılara yaklaştıkça artar.

Sayaca gelen herhangi bir foton, atomun iç kabuklarından bir elektron sökünce bu fotoelektron elektron-hole çifti meydana getirerek ilerlerken bu atomun kendi karakteristik X-ışını da yayılır. Eğer bu olay sayaç yüzeylerine yakın bir yerlerde olursa bu karakteristik ışın başka etkileşmelere girmeden sayaçtan kaçabilir. Dolayısıyla sayaç gelen fotonu geliş enerjisinden daha düşük enerjili olarak sayar. Böylece oluşan kaçak pikler asıl piklerin düşük enerjili tarafında yer alırlar.

#### **2.3.2.7. Satellite Çizgileri**

Auger olayının bir başka neticesi de geride kalan iki kere iyonlaşmış, yani iç kabuklarında iki boşluk oluşmuş bir atomdur. Atomda önce K kabuğunda bir boşluk olduğunu, bunun L'den gelen elektronla doldurulduğunu ve bu esnada  $K_{\alpha}$  fotonunun yayınlandığı, bu fotonun L kabuğundan bir başka elektron koparmasıyla Auger olayının gerçekleştiğini düşünelim. Böylece L kabuğunda iki elektron boşluğu oluşur. İki kere iyonlaşmış atom sadece Auger olayında gerçekleşmez. Birincil ya da ikincil fotonlarla veya elektronlarla da atom aynı anda iki kere iyonlaştırılabilir. Ancak bir X-ışını halinin yarı ömrü  $\sim 10^{-16}$ sn gibi çok kısa ve uyarıcı şuadaki elektron yoğunluğunun hedef atomdakine kıyasla az olmasından dolayı elektronlarla iyonlaştırmada, aynı atom için ard arda iki kez çarpışma ve iki kez iyonlaşmış halde bulunma hemen hemen mümkün değildir. İki kere iyonlaşmış atomlardan yayınlanan çizgilerin dalga boyları, bir kere iyonlaşmış atomlardan yayınlanan çizgilerin dalga boylarından biraz farklıdır. Bu tür çizgiler satellite (non-diyagram) çizgileri olarak adlandırılmaktadır.

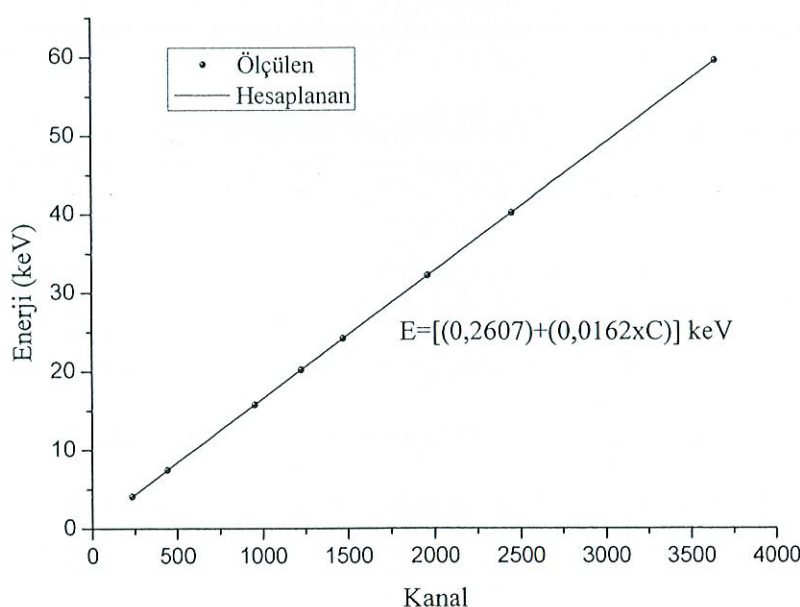
## 2.4. Deney

### 2.4.1. Enerji Kalibrasyonu

Enerji kalibrasyonunun yapılabilmesi için önceden enerjileri bilinen standart kaynaklara ihtiyaç vardır. Çünkü spektrumların analiz edilebilmeleri için, hangi kanalın hangi enerjiye karşılık geldiği bilinmelidir. Enerji kalibrasyonu için enerjileri 4-60 keV arasında değişen Sc, Ni, Zr, Rh, In, Ba, Sm ve Am'ın piklerini içeren kaynaklar kullanıldı.

Tablo 3. Enerji kalibrasyonunda kullanılan kaynaklar

Element	Simge	Atom no	$K_{\alpha_1}$ (keV)
Skandinyum	Sc	21	4,09
Nikel	Ni	28	7,47
Zirkonyum	Zr	40	15,77
Rodyum	Rh	45	20,21
İndiyum	In	49	24,20
Baryum	Ba	56	32,19
Samaryum	Sm	62	40,118
Amersiyum	Am	95	59,5



Şekil 18. Enerji – kanal grafiği.

### 2.4.2. Verim Kalibrasyonu

Dedektör verimi, dedektörde sayılabilir büyülüklükte puls üreten fotonların sayısının dedektöre gelen fotonların yüzdesi olarak tanımlanır. Dedektör veriminin tayini için standart kaynaklara ihtiyaç vardır. Bu kaynakların bozumalarında foton yayımlama ihtimali değerleri bilinmelidir. Dedektör verimliliğini etkileyen faktörleri kolimatör faktörü, dedektör maddesi, dedektörün hassas bölgesi, imalat faktörü ve kıyılardan kaçma şeklinde sıralayabiliriz.

Tek bir radyoizotop kaynak olduğu durumlarda, dedektör verimliliğini belirlemede elementlerden yayılan karakteristik  $K_{\alpha,\beta}$  X-ışınları kullanılır. Elementlerin  $K_{\alpha,\beta}$  X-ışınları enerjileri çalışılacak enerji bölgesini içine alacak şekilde seçilir. Elementler radyoizotop kaynakla uyarılır ve dedektörde sayılır. Oluşan karakteristik  $K_{\alpha,\beta}$  piklerinin net alanları alınır.

$$N = I_0 \cdot G \cdot \varepsilon \cdot m_i \cdot \beta \cdot \sigma \quad (33)$$

Burada  $N$ , birim zamanda ölçülen karakteristik X-ışınlarının şiddeti,  $I_0$  numuneye birim zamanda gelen foton şiddeti (uyarıcı radyasyon şiddeti),  $G$  kaynak-numune ve numune-dedektör kompozisyonuna bağlı geometrik faktör,  $\varepsilon$  X-ışınları enerjisindeki dedektör verimi,  $\sigma$  fotoelektrik tesir kesiti ve  $\beta$  soğurma düzeltmesi faktörü olarak ifade edilmektedir.  $m_i$  ise numune içindeki analitik madde miktarının kütle kalınlığıdır.

$I_0 G \varepsilon$  değeri çeşitli aralıktaki elementlerinin uyarılması sonucu elde edilen bu elementlere ait karakteristik  $K$  X-ışınlar yardımıyla (33) bağıntısından ölçülmüştür. Deney süresince  $I_0 G \varepsilon$  faktörünü sabit tutmak için geometri değiştirilmemiştir.  $I_0 G \varepsilon_K$  değerinin tayininde,

$$I_0 G \varepsilon_{K_{\alpha,\beta}} = \frac{N_{K_{\alpha,\beta}}}{\beta_{K_{\alpha,\beta}} \cdot m_i \cdot \sigma_{K_{\alpha,\beta}}} \quad (34)$$

ifadesinden faydalanyılmıştır.

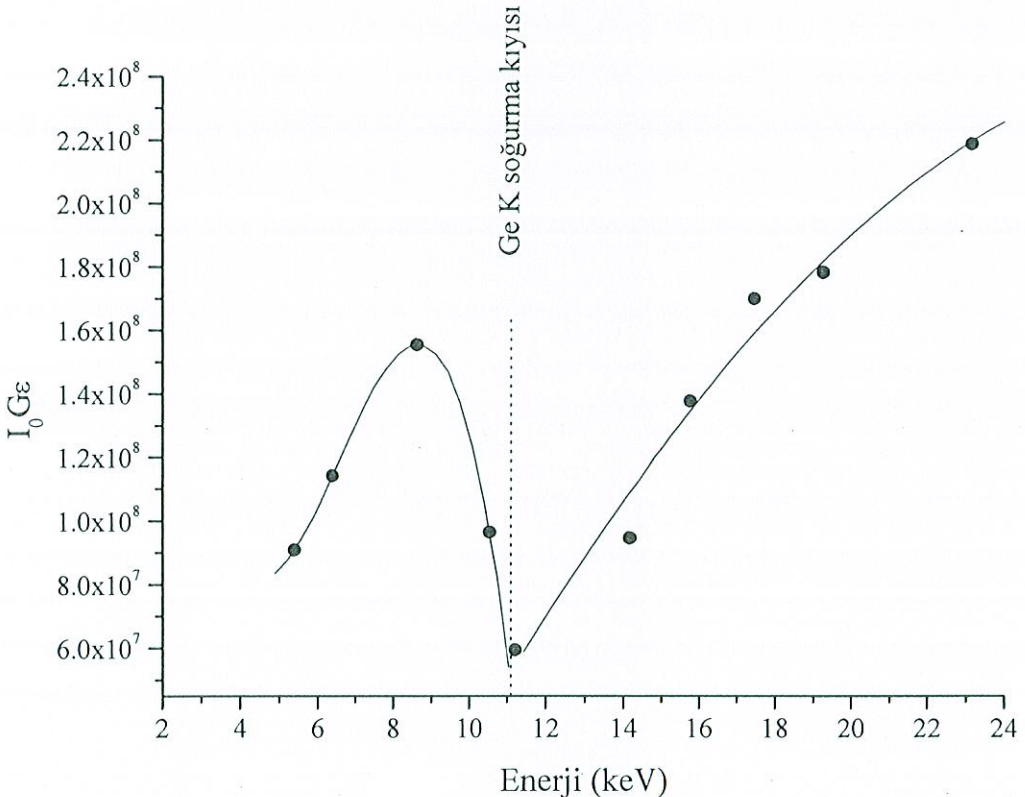
$$\sigma_{K_{\alpha,\beta}} = \sigma_K \cdot \omega_K \cdot f_{K_{\alpha,\beta}} \quad (35)$$

bağıntısına göre teorik hesaplanmıştır. Burada  $\sigma_{K_{\alpha,\beta}}$  K tabakasına ait fotoelektrik tesir kesiti olup, Berger ve Hubbell tarafından geliştirilen XCOM bilgisayar programından alınmıştır (Berger ve Hubbell, 1998).  $\omega_K$ , K tabakası için floresans verim olup Bambynek'in tablosundan alınmıştır (Bambynek, 1984).  $f_{K_{\alpha,\beta}}$  ise K tabakasında yayımlanan  $K_\alpha$  veya  $K_\beta$  X-ışını ihtimaliyeti olup Broll'un makalesinden alınmıştır (Broll, 1986).

Çalışmamızda 59,54 keV enerjide foton yayımılayan  $^{241}Am$  radyoaktif kaynak kullanılmıştır. Farklı enerjiler için dedektör verimi hesabı için farklı numuneler kullanılmıştır. Kullanılan numuneler Tablo 4'te verilmektedir.

Tablo 4. Verim kalibrasyonunda kullanılan numuneler

Element	Simge	Atom no	Uyarıcı kaynak	$K_{\alpha_1}$ (keV)
Skandinyum	Sc	21	Am-241	4,090
Demir	Fe	26	Am-241	6,403
Nikel	Ni	28	Am-241	7,478
İtriyum	Y	39	Am-241	14,958
Niyobyum	Nb	41	Am-241	16,615
Rodyum	Rh	45	Am-241	20,216
Gümüş	Ag	47	Am-241	22,162
İndiyum	In	49	Am-241	24,207



Şekil 19. Enerji-verim eğrisi.

#### 2.4.3. Deney Sistemi

Ni, Mo ve Ta elementlerinin kütle soğurma katsayılarının belirlenmesinde en önemli aşamalardan birini, numunelerin uygun geometride soğurma ölçümelerinin yapılması teşkil etmiştir. Bu ölçümeler, doğrudan uyarma ve ikincil kaynakla uyarma yöntemine göre hazırlanan deney geometrisi (transmisyon geometrisi) kullanılarak yapılmıştır. Kullanılan deney geometrisi Şekil.20 ve Şekil.21'de gösterilmektedir.

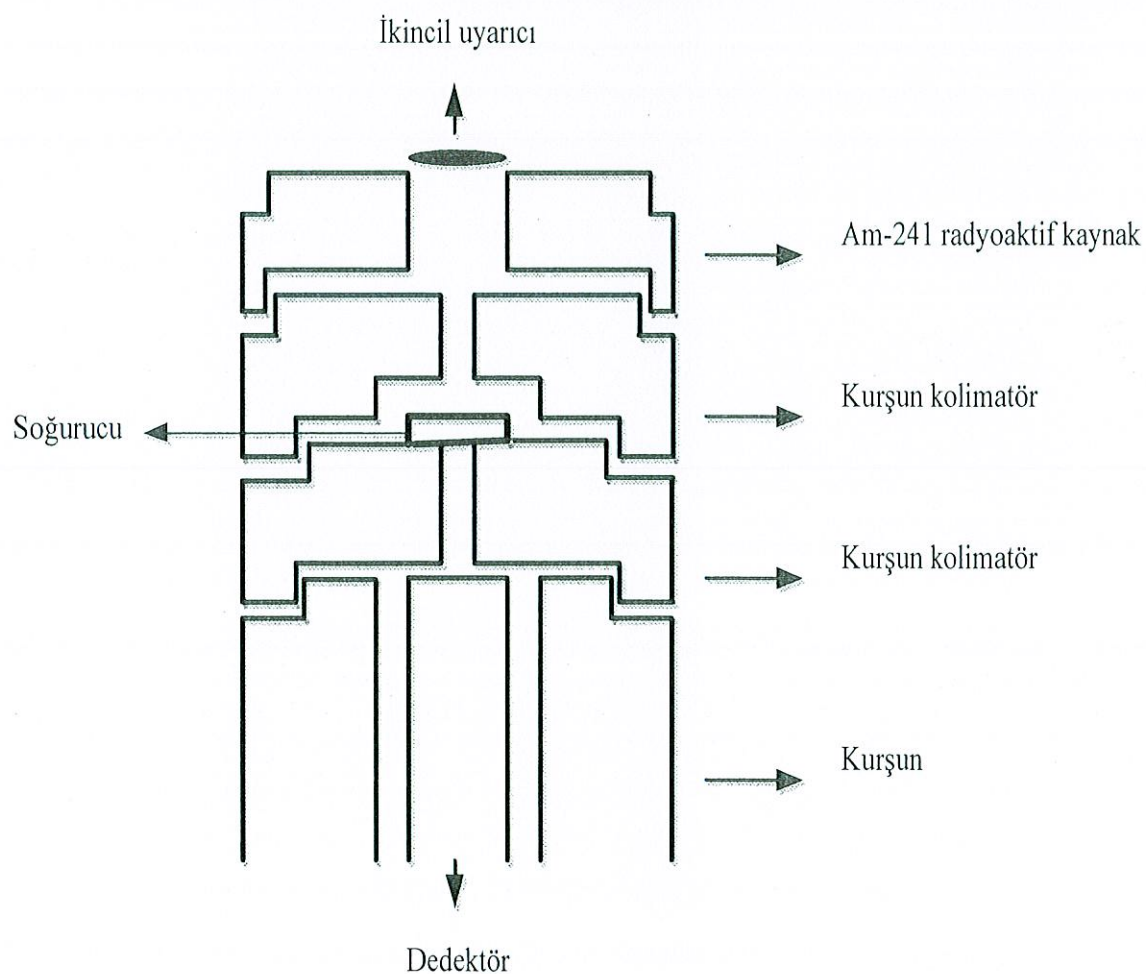
Şekil.21'deki deney düzeneğinde soğurma katsayılarını ölçeceğimiz numuneler,  $^{241}Am$  radyoizotop halka kaynağından yayınlanan 59,54 keV enerjili gama fotonlara maruz bırakıldı.



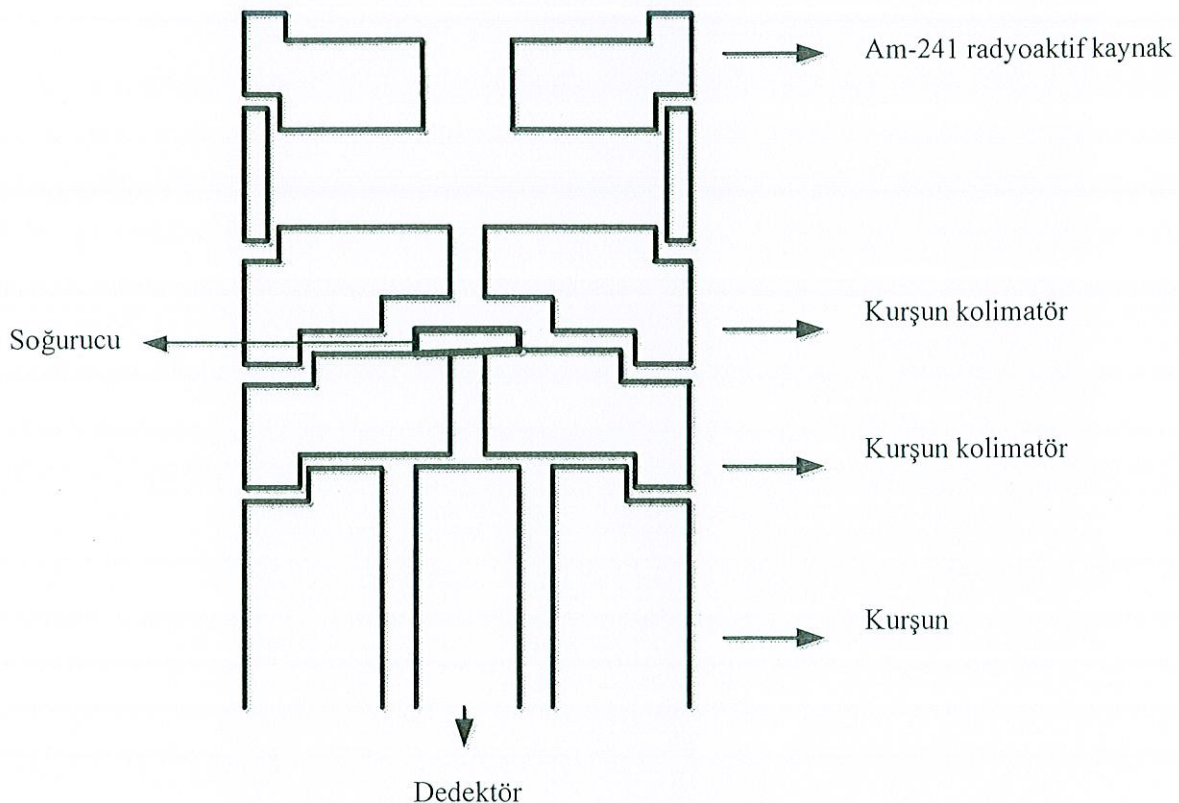
$^{241}Am$ , alfa bozunması yaparak  $^{237}Np$ 'a dönüşür. Açıga çıkan gama ışınının enerjisi filtre edilenlerin dışında 59,54 keV'tur.

Tablo 5.  $^{241}Am$  radyoaktif kaynağının özellikleri

İzotop	Atom No (Z)	Yarı Ömrü (yıl)	Bozulma Modu	Radyasyon Enerjisi (MeV)		
				Alfa ( $\alpha$ )	Beta ( $\beta$ )	Gama ( $\gamma$ )
$^{241}Am$	95	430	$\alpha$	5,5	0,052	0,033



Şekil 20. X-ışınları soğurma ölçümleri için kullanılan deney geometrisi.



Şekil 21. Gama ışınları soğurma ölçümleri için kullanılan deney geometrisi.

İkincil kaynak olarak kullanılan elementlere ait özellikler Tablo 6'da; ikincil kaynak olarak kullanılan elementler ve karakteristik X-ışını enerjileri Tablo 7'de verilmiştir. Şekil.20'de gösterilen deney geometrisinde ikincil kaynak yöntemiyle elde edilen enerjilerde soğurucular için ölçümler alınmıştır. Şekil.21'deki deney düzeneğinde bu elementler  $^{241}Am$  radyoizotop gama halka kaynağından yayınlanan 59,54 keV'luk gama ışınları ile uyarılmıştır. Kaynaklardan Compton saçılmasına uğrayan X ve gama ışınları uygun bir kolimatör kullanılarak paralel bir demet halinde dedektör penceresine (Be pencere) düşecek şekilde kolime edilmiştir. Kullanılan bu kolimatör her iki sistem için de 4 mm çapında sabit tutulup, numune ve dedektör arasına çapları 2, 4, 6 ve 10 mm olmak üzere dört farklı kolimatör yerleştirilerek ölçüm alınmıştır. Aynı ölçümler, numune ve dedektör arasına yerleştirilen kolimatörün sabit 4 mm çapında tutulup, numune ve kaynak arasındaki kolimatörlerin sırasıyla 2, 4, 6 ve 10 mm çaplarındaki kolimatörlerin konulmasıyla tekrarlanmıştır. Ölçümler 6,93, 23,17, 40,12 ve 59,54 keV'lik enerjilerde alınmıştır.

Tablo 6. İkincil kaynak olarak kullanılan elementler ve özellikleri

İkincil kaynak	Simge	Atom numarası	Kalınlık (mm)	Saflik (%)
Kobalt	Co	27	0,025	99,950
Kadminyum	Cd	48	0,025	99,999
Samaryum	Sm	62	0,025	99,900

Tablo 7. İkincil kaynak olarak kullanılan elementler ve karakteristik X-ışını enerjileri

Element	Atom No (Z)	İkincil Kaynak	Enerji (keV)
Co	27	$K_{\alpha_1}$	6,93
Cd	48	$K_{\alpha_1}$	23,17
Sm	62	$K_{\alpha_1}$	40,12

Radyoaktif kaynaktan yayılan radyasyondan korunmak için dedektörü çevreleyen 10 mm kalınlıkta kurşun koruyucu konulmuştur. Kaynaktan yayılan gama ve karakteristik X-ışınlarını saymak için 5,9 keV'de yarı maksimumdaki tam genişliği (FWHM) 0,15 keV'den daha az olan Ultra LEGe dedektör kullanılmıştır.

Deney düzeneklerinde, ikincil kaynaklar ve soğurucu numuneler hazırlanıktan sonra sayım işlemine geçildi. Sayım işlemi önce soğurucu numuneler yokken  $^{241}Am$  kaynağından yayılan gama ışınları ve ikincil kaynaklardan yayılan X-ışınları sayılarak yapıldı. Sonra soğurucu numuneler, kolimatörlerle ayarlanmış uygun deney düzeneklerinde dedektör ile uyarıcılar arasına konularak sayım işlemi yapıldı. Sayılar her ölçüm için üç kez tekrarlandı.

Yapılan bu deneyler sonucunda elde edilen ilgili piklerin alanları alınarak, soğuruculara gelen ve onlardan geçen ışınların şiddetleri bulundu. Bu şiddet değerlerinin kullanılmasıyla Ni, Mo ve Ta elementlerinin soğurma katsayıları hesaplandı.

### 3. BULGULAR

#### 3.1. Soğurma Katsayıları

Bu çalışmada Ni, Mo ve Ta elementlerinin kütle soğurma katsayılarının deneysel sonuçları Tablo 8 ve 9'da verilmiştir. Kütle soğurma katsayıları ( $\mu/\rho$ ), "Lambert-Beer" yasasından yararlanılarak bulunan,

$$\frac{\mu}{\rho} = \frac{1}{d} \ln\left(\frac{I_0}{I}\right) \quad (37)$$

İfadeden hesaplandı. Burada  $d$  soğurucunun yoğunluğu iken,  $(I_0/I)$  soğurucuya gelen şuanın soğurucudan geçen şuaya oranıdır. Burada  $d$ , soğurucuların yoğunlukları ve kalınlıkları ölçülerek,

$$d = \rho x \quad (38)$$

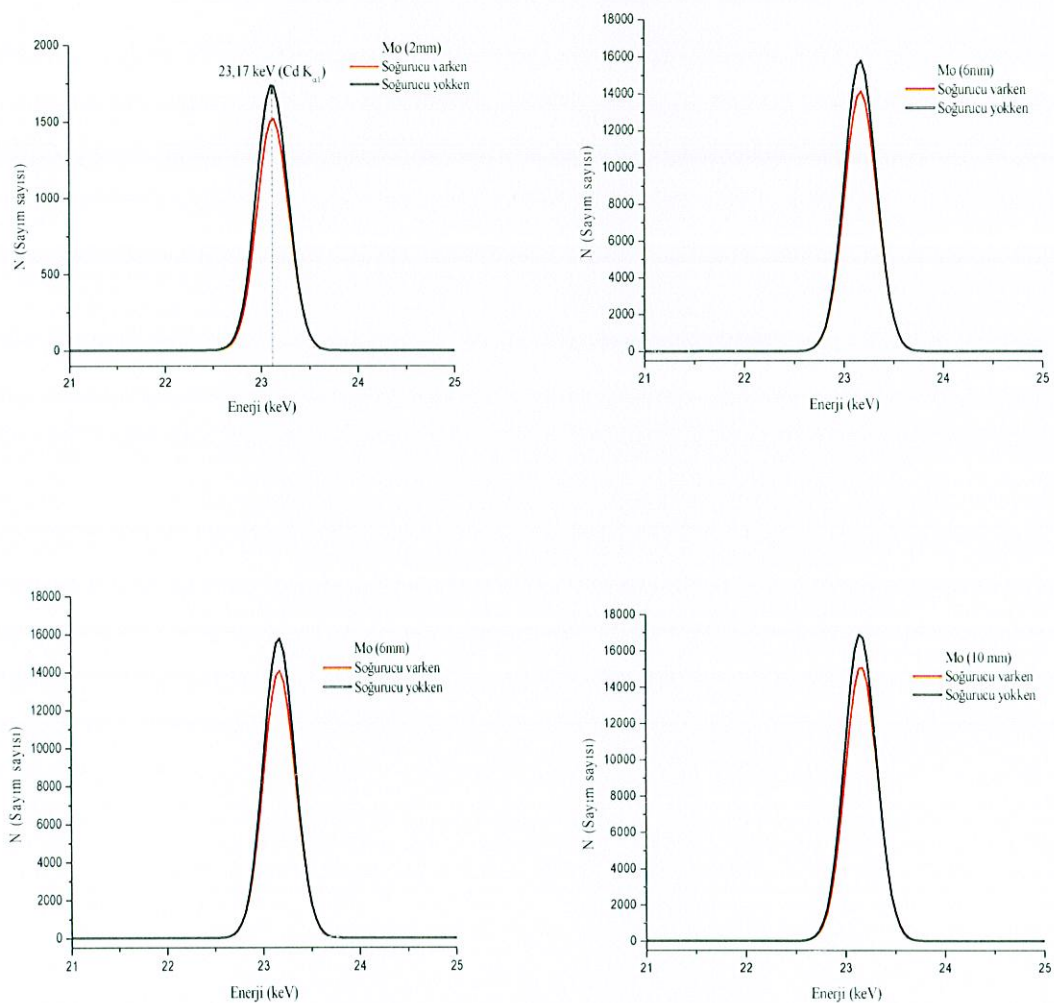
İfadeden hesaplanmıştır. Kütle soğurma katsayılarının teorik değerleri WinXCom programından elde edilmiştir. Yapılan deneylerde elde edilen sonuçlar kullanılarak Mo için 23,17 keV enerjide soğurucu varken ve soğurucu yokken alınan sayılmış sayısına enerji grafikleri Şekil.22'de gösterilmektedir. Teorik ve deneysel olarak elde edilen sonuçlarla çizilen, kütle soğurma katsayısının enerjiyle değişimini gösteren grafikler Şekil (23-34)'te; kütle soğurma katsayısının kolimatör çapıyla değişimini gösteren grafikler Şekil (35-40)'da verilmiştir.

Tablo 8. Ni, Mo ve Ta'ın kütle soğurma katsayıları

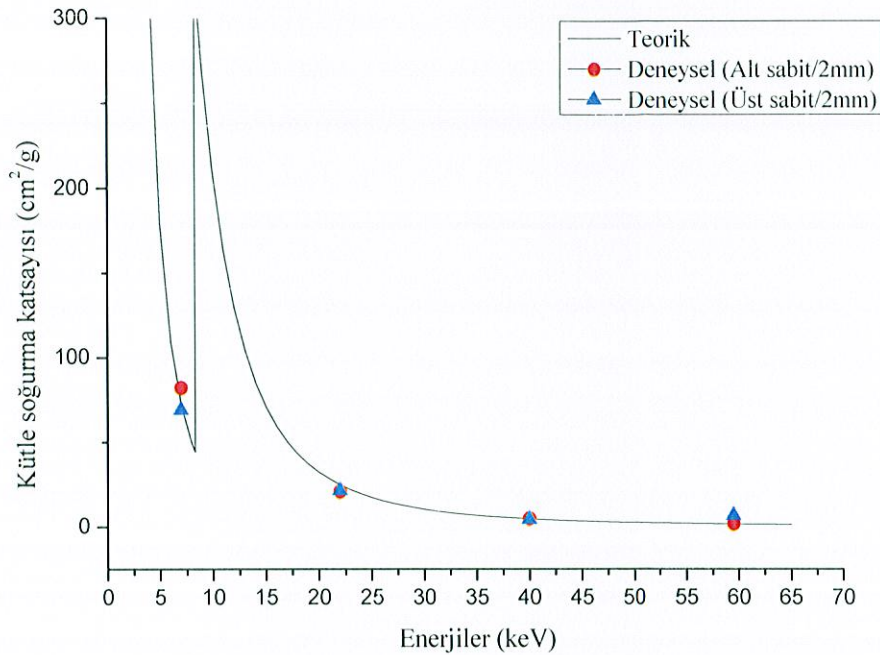
Enerji (keV)	Element	$\mu/\rho$ ( $\text{cm}^2/\text{g}$ )		(deneysel değerler)	Alt Sabit (4 mm)	Teorik değerler
		2 mm	4 mm	6 mm	10 mm	
6,93	Ni	81,845	66,725	86,755	84,053	73,35
		20,674	22,633	17,922	17,081	21,39
		4,600	7,171	27,587	2,880	4,562
		1,525	3,389	1,545	7,110	1,542
6,93	Mo	236,447	202,447	225,032	219,217	229,5
		54,761	38,253	37,883	27,680	64,94
		4,371	7,960	20,618	16,129	12,84
		19,498	6,898	4,372	21,020	4,364
6,93	Ta	235,245	223,251	227,501	227,926	235,1
		35,095	29,315	35,811	27,987	43
		3,416	7,192	20,519	9,025	10,17
		15,712	4,842	4,416	9,871	3,64

Tablo 9. Ni, Mo ve Ta'ın kütle soğurma katsayıları

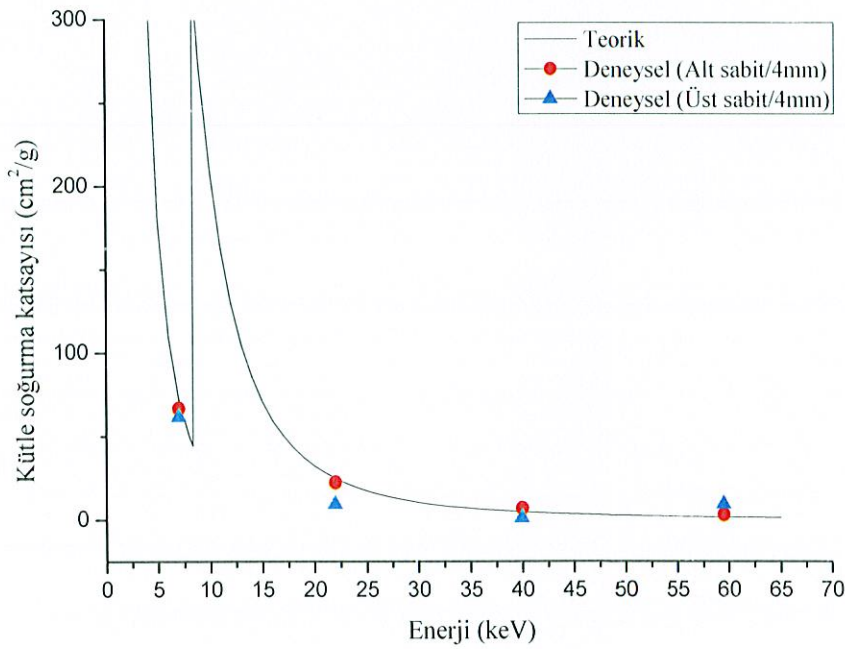
Enerji (keV)	Element	$\mu/\rho$ ( $\text{cm}^2/\text{g}$ )		(deneysel değerler)	Üst sabit (4mm)	Teorik değerler
		2 mm	4 mm	6 mm	10 mm	
6,93	Ni	68,933	61,911	76,381	75,944	73,35
		21,512	9,601	30,136	14,986	21,39
		4,600	1,501	14,969	40,449	4,562
		6,778	9,558	10,193	6,229	1,542
6,93	Mo	262,803	321,950	283,767	260,338	229,5
		60,015	62,935	60,560	53,308	64,94
		12,940	5,846	12,281	49,912	12,84
		4,372	9,683	19,806	9,417	4,364
6,93	Ta	243,181	283,547	261,490	247,590	235,1
		45,256	28,037	41,822	35,028	43
		10,300	6,513	10,497	17,718	10,17
		7,931	2,960	2,377	7,982	3,64



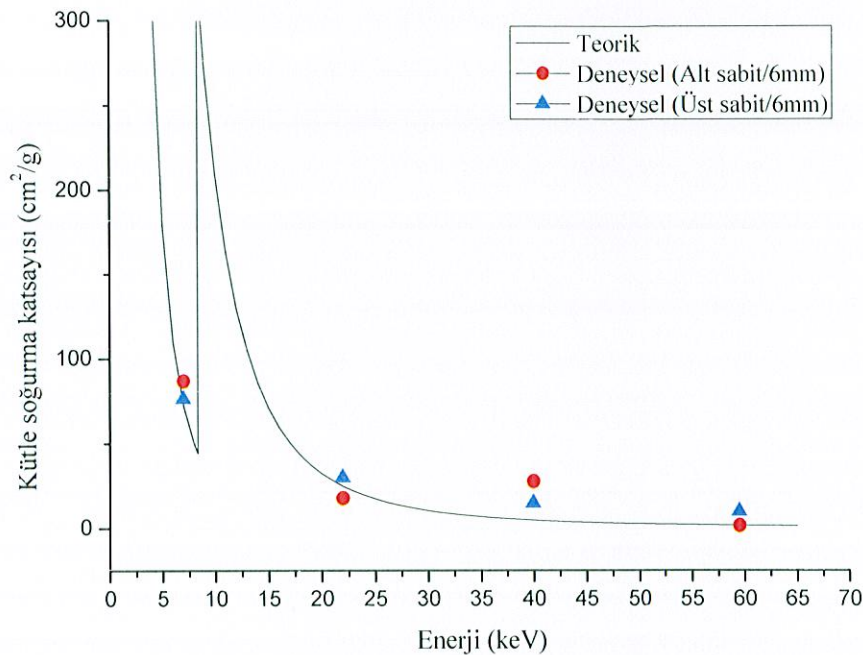
Şekil 22. 23,17 keV enerjide molibden için  $I$  ve  $I_0$  değerleri



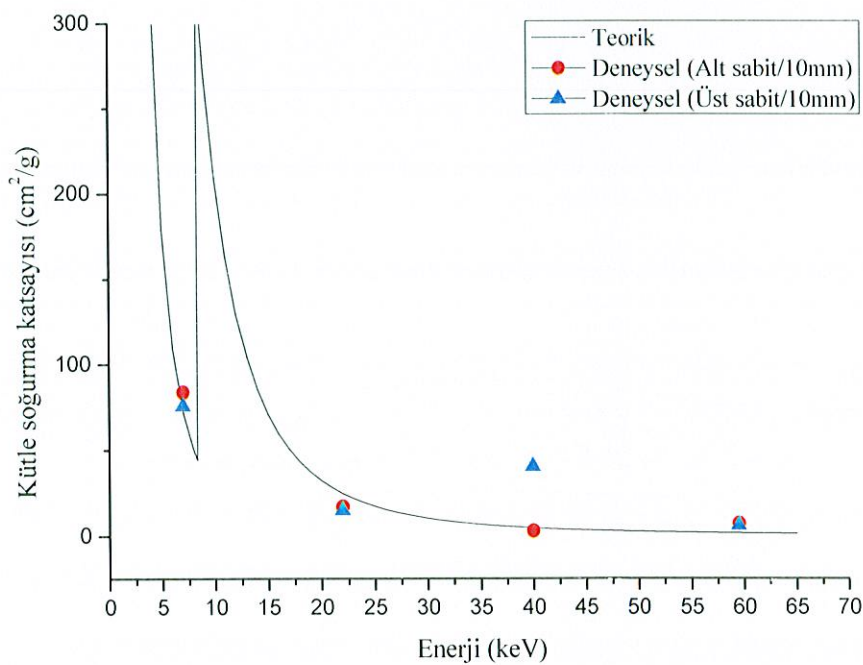
Şekil 23. Ni'in kütle soğurma katsayılarının enerjiyle değişimi (kolimatör çapı 2 mm).



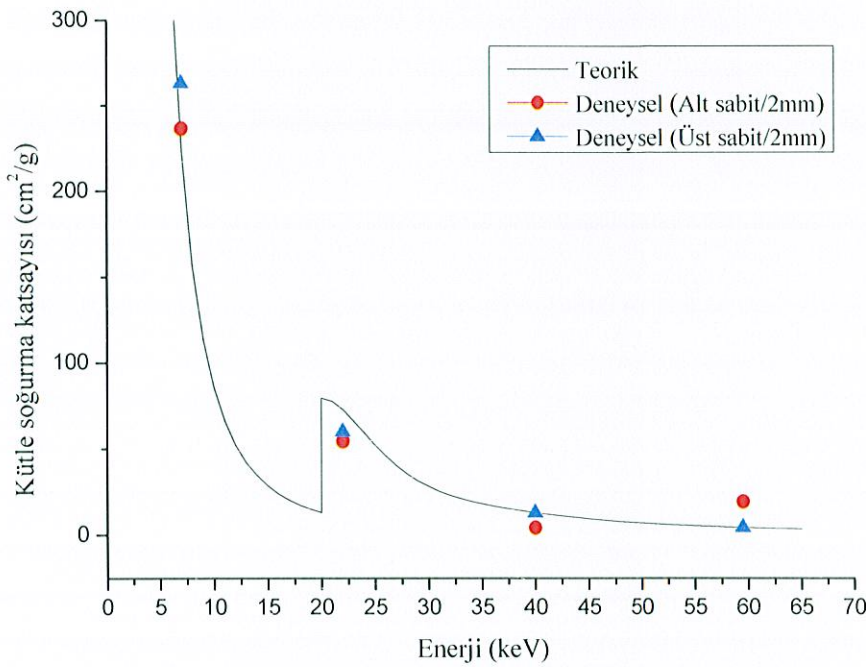
Şekil 24. Ni'in kütle soğurma katsayılarının enerjiyle değişimi (kolimatör çapı 4 mm).



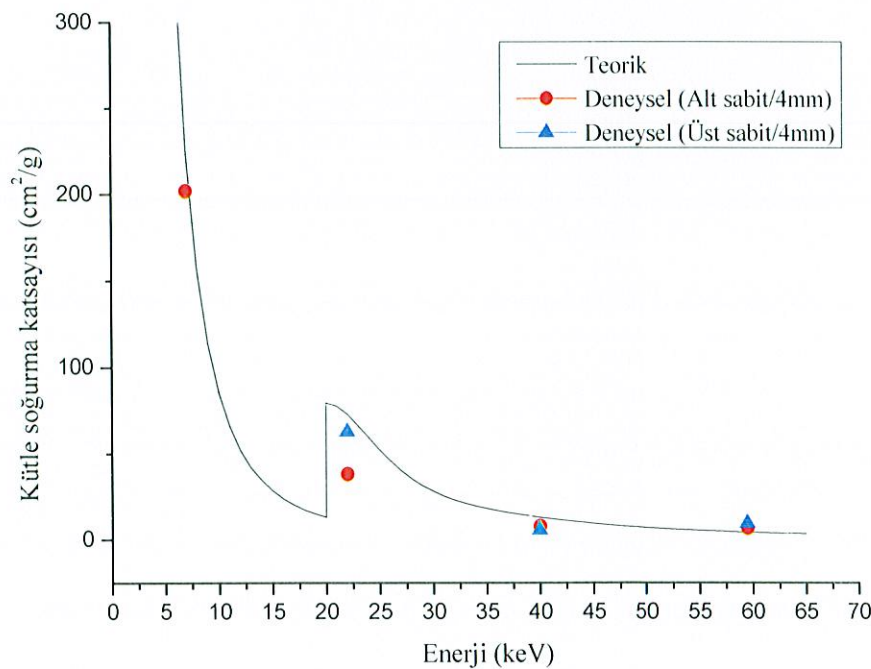
Şekil 25. Ni'in kütle soğurma katsayılarının enerjiyle değişimi (kolimatör çapı 6 mm).



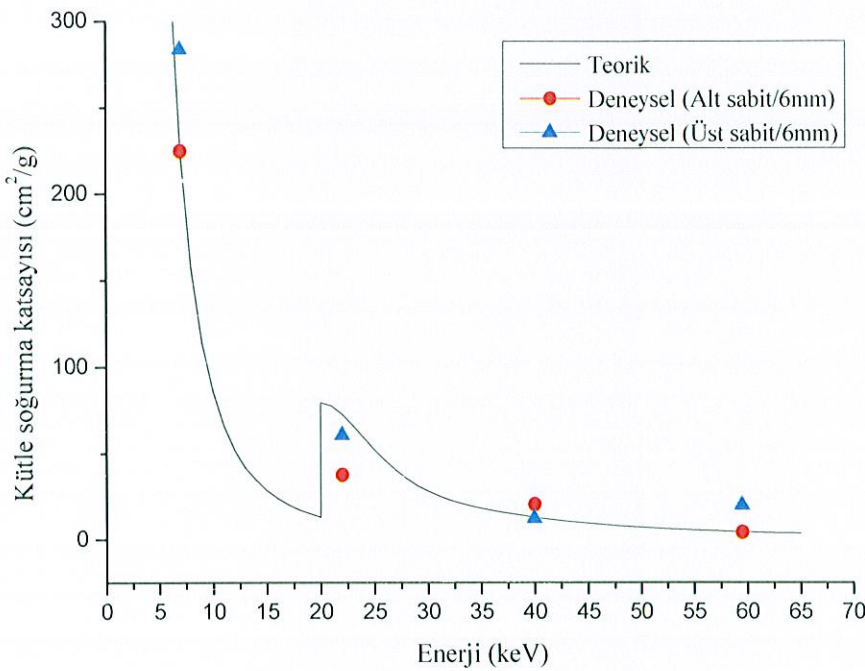
Şekil 26. Ni'in kütle soğurma katsayılarının enerjiyle değişimi (kolimatör çapı 10 mm).



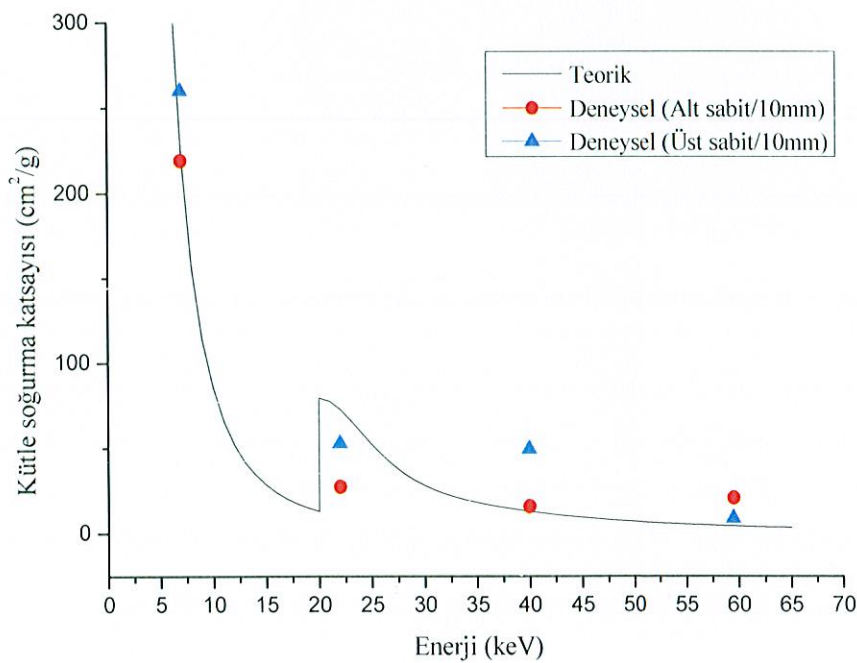
Şekil 27. Mo'in kütle soğurma katsayılarının enerjiyle değişimi (kolimatör çapı 2 mm).



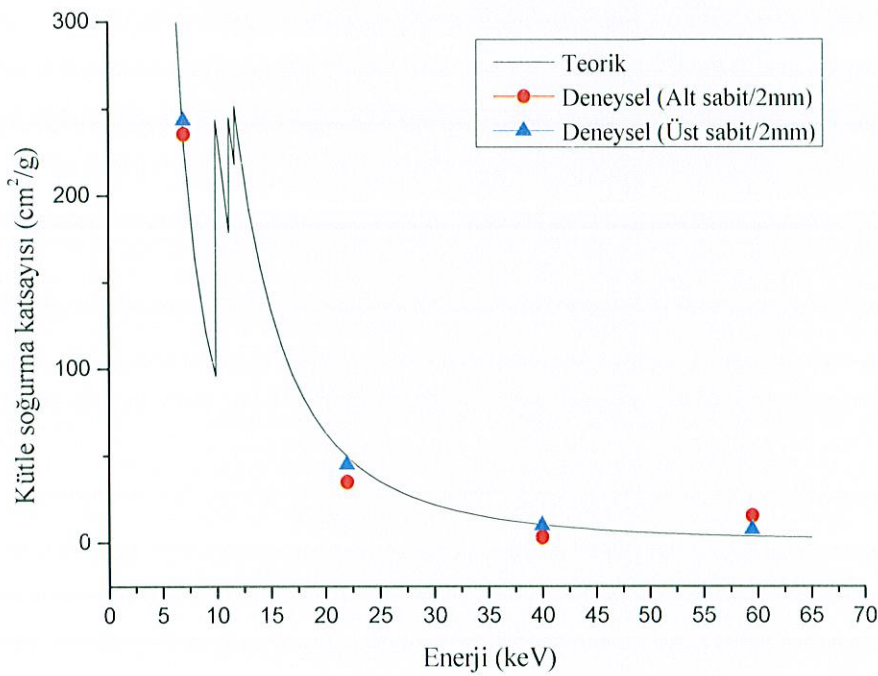
Şekil 28. Mo'in kütle soğurma katsayılarının enerjiyle değişimi (kolimatör çapı 4 mm).



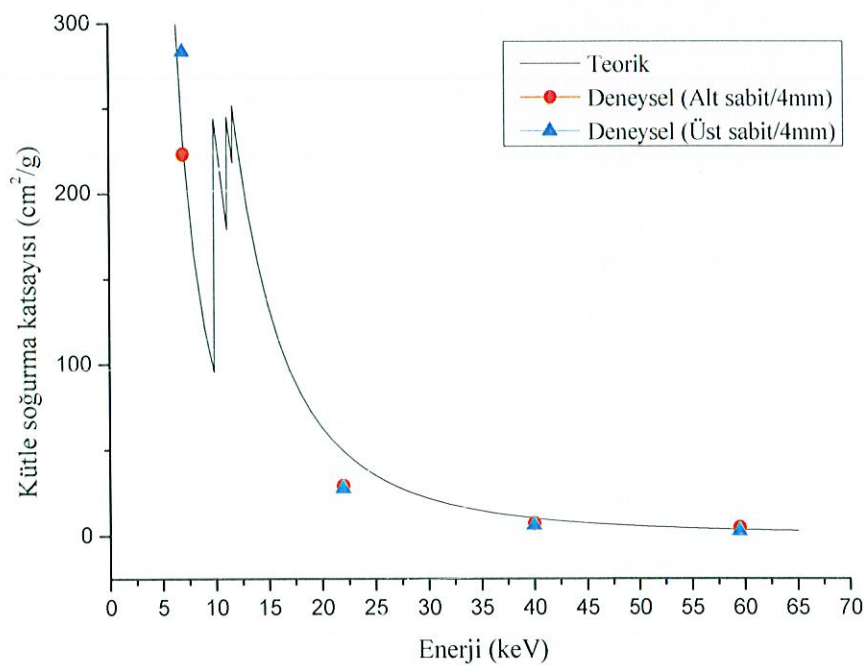
Şekil 29. Mo'in kütte soğurma katsayılarının enerjiyle değişimi (kolimatör çapı 6 mm).



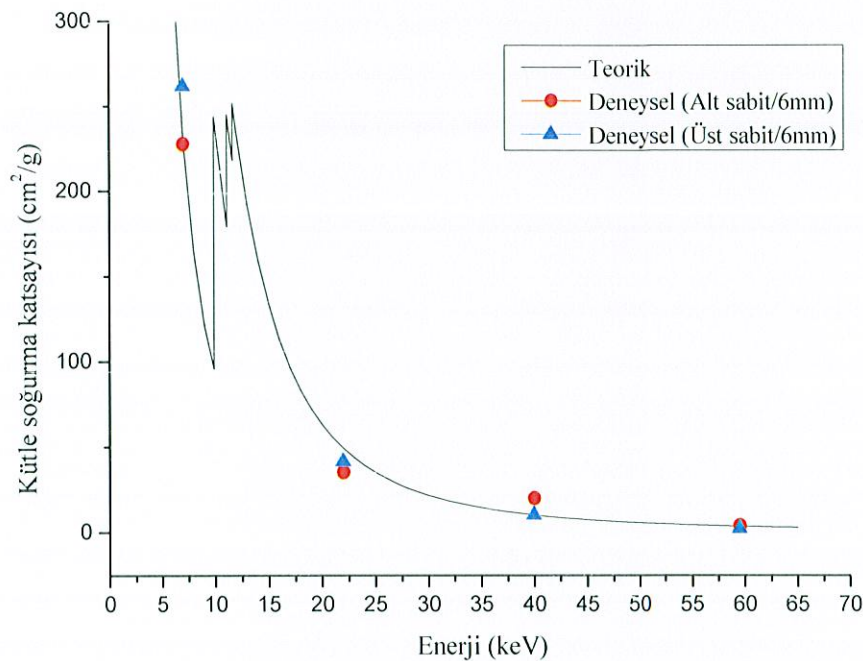
Şekil 30. Mo'in kütte soğurma katsayılarının enerjiyle değişimi (kolimatör çapı 10 mm).



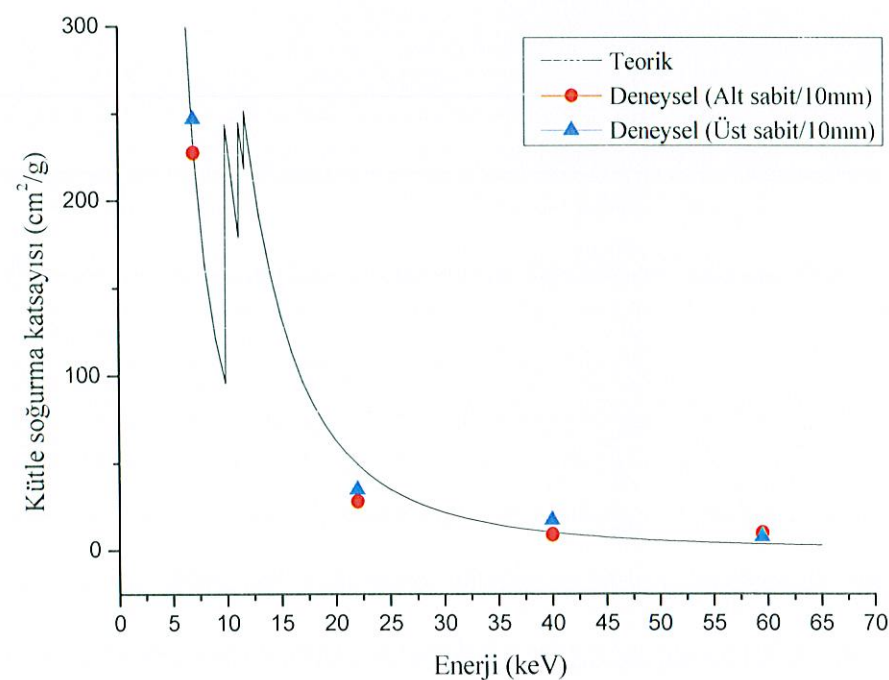
Şekil 31. Ta'ın kütle soğurma katsayılarının enerjiyle değişimi (kolimatör çapı 2 mm).



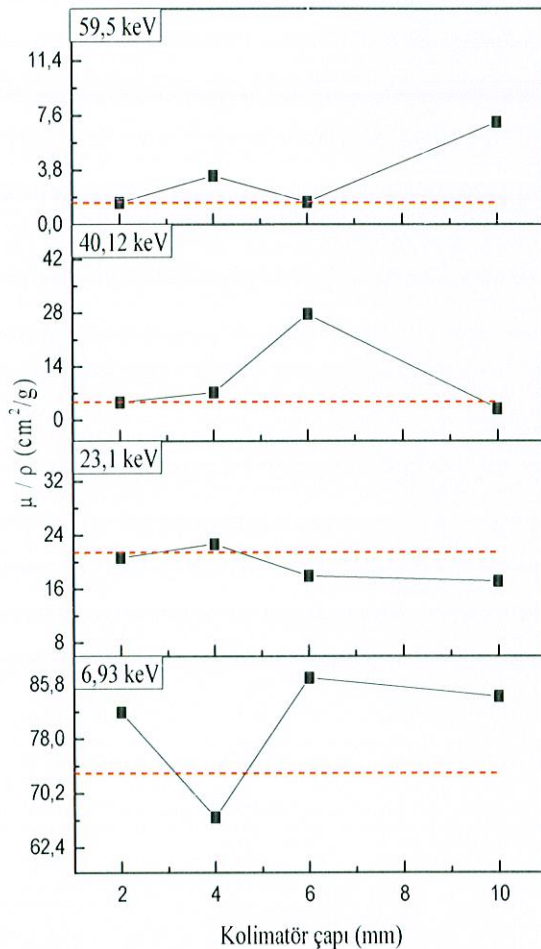
Şekil 32. Ta'ın kütle soğurma katsayılarının enerjiyle değişimi (kolimatör çapı 4 mm).



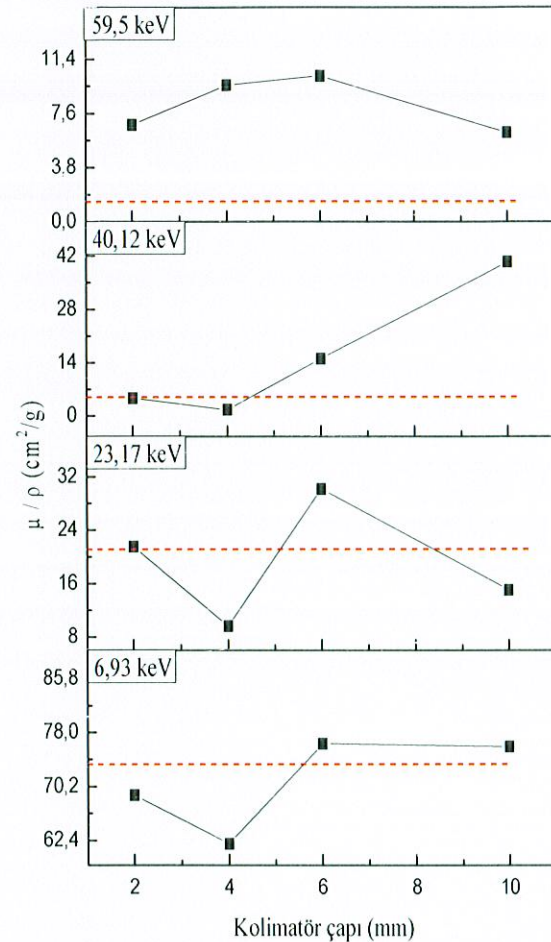
Şekil 33. Ta'ın kütle soğurma katsayılarının enerjiyle değişimi (kolimatör çapı 6 mm).



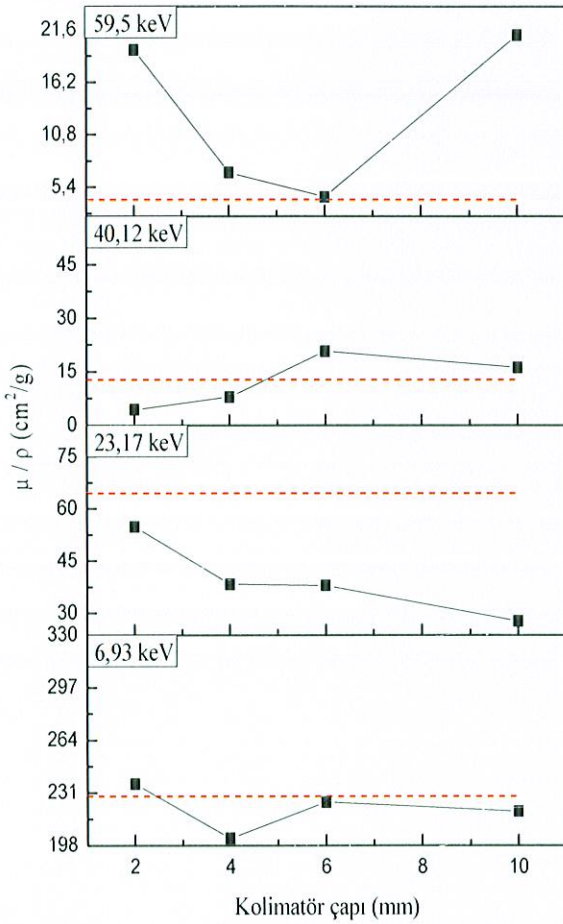
Şekil 34. Ta'ın kütle soğurma katsayılarının enerjiyle değişimi (kolimatör çapı 10 mm).



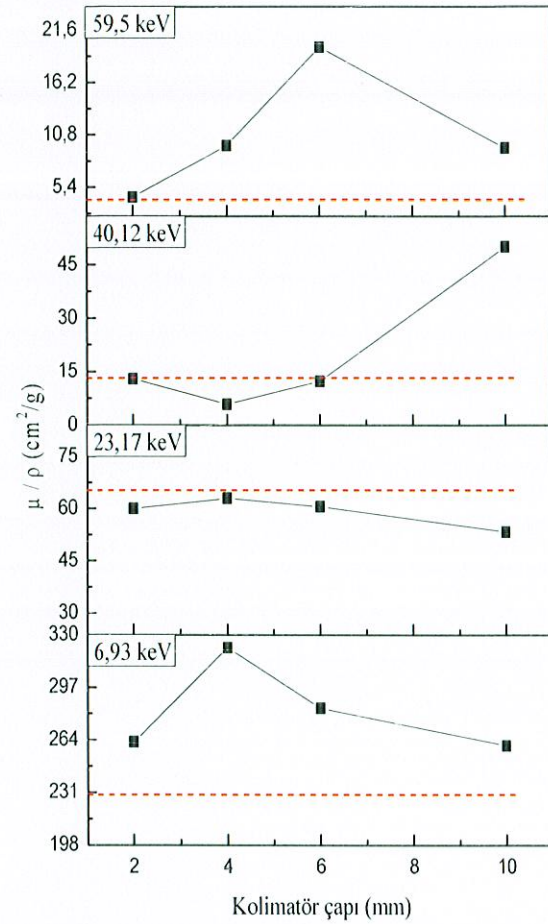
Şekil 34. Ni'ın farklı enerjilerdeki kütlesel soğurma katsayılarının kolimatör çapıyla değişimi (alt sabit 4 mm).



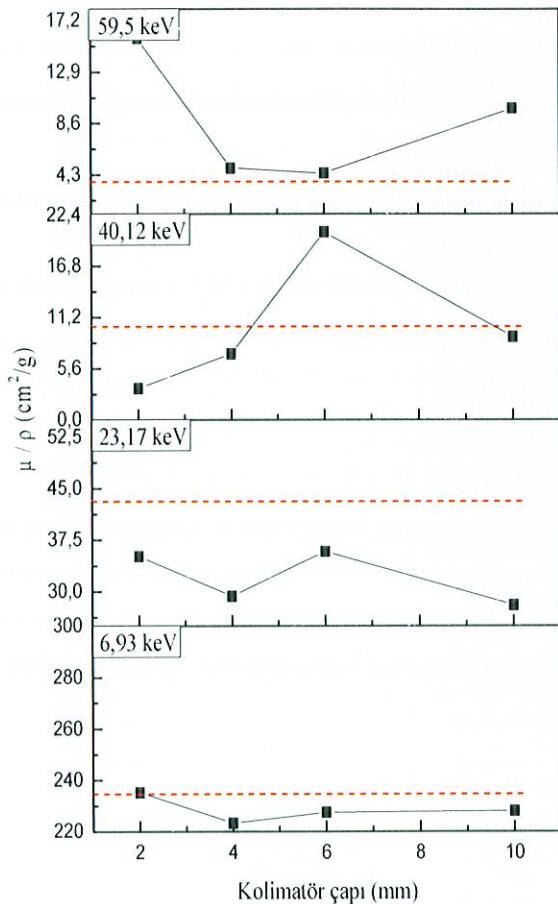
Şekil 35. Ni'ın farklı enerjilerdeki kütlesel soğurma katsayılarının kolimatör çapıyla değişimi (üst sabit 4 mm).



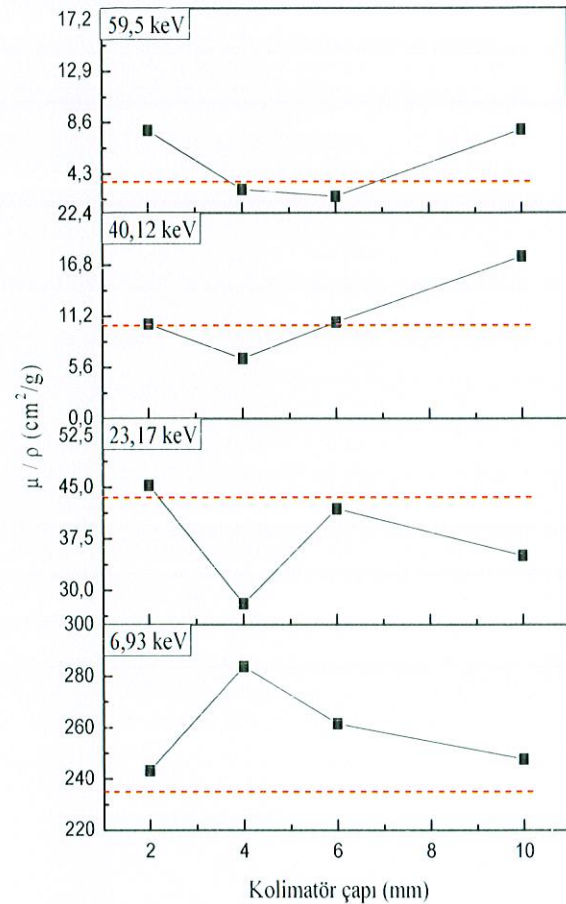
Şekil 36. Mo'in farklı enerjilerdeki kütle soğurma katsayılarının kolimatör çapıyla değişimi (alt sabit 4 mm).



Şekil 37. Mo'in farklı enerjilerdeki kütle soğurma katsayılarının kolimatör çapıyla değişimi (üst sabit 4 mm).



Şekil 38. Ta'ın farklı enerjilerdeki kütlesel soğurma katsayılarının kolimatör çapıyla değişimi (alt sabit 4 mm).



Şekil 39. Ta'ın farklı enerjilerdeki kütlesel soğurma katsayılarının kolimatör çapıyla değişimi (üst sabit 4 mm).

#### **4. SONUÇLAR**

Alt kolimatörün 4 mm'de sabit tutulduğu ölçümlerde, Nikel için elde edilen kütle soğurma katsayıları teorik değerlerle karşılaştırıldığında 6,93, 23,17 ve 40,12 keV'lik enerjilerde en iyi sonuç 2 mm'lik kolimatör ile sağlanmıştır. 59,54 keV'lik enerjide ise teorik değere en yakın sonuç 6 mm'lik kolimatörden elde edilmiştir. Aynı ölçümler için 6,93 ve 40,12 keV'lik enerjilerde teorik değerden en fazla sapma 6 mm'lik kolimatörde; 23,17 ve 59,54 keV'lik enerjilerde ise 10 mm'lik kolimatörde meydana gelmiştir.

Molibden ölçümlerinde elde edilen kütle soğurma katsayıları teorik değerlerle karşılaştırıldığında 6,93 ve 59,54 keV'lik enerjilerde en iyi sonuç 6 mm'lik kolimatör ile sağlanmıştır. 23,17 keV'lik enerjide teorik değere en yakın sonuç 2 mm'lik kolimatör iken 40,12 keV'lik enerjide 10 mm'lik kolimatördür. Molibden ölçümleri için teorik değerden en fazla sapma 6,93 keV'lik enerji için 4 mm'lik kolimatör, 23,17 keV'lik enerji için 10 mm'lik kolimatör, 40,12 keV'lik enerjide 2 ve 6 mm'lik kolimatörlerde, 59,54 keV'lik enerjide ise 10 mm'lik kolimatörde meydana gelmiştir.

Tantalyum ölçümlerinde elde edilen kütle soğurma katsayıları teorik değerlerle karşılaştırıldığına ise; 6,93 ve 23,17 keV'lik enerjilerde en iyi sonuç 2 mm'lik kolimatör ile, 40,12 keV'lik enerjide 10 mm'lik kolimatörde ve 59,54 keV'lik enerjide 6 mm'lik kolimatörde bulunmuştur. Tantalyum ölçümleri için teorik değerden en fazla sapma 6,93 keV'lik enerjide 4 mm'lik kolimatörde, 23,17 keV'lik enerjide 10 mm'lik kolimatörde, 40,12 keV'lik enerjide 6 mm'lik kolimatörde, 59,54 keV'lik enerjide 2 mm'lik kolimatörde olmuştur.

Üst kolimatörün 4 mm'de sabit tutulduğu ölçümlerde Ni için elde edilen kütle soğurma katsayıları teorik değerlerle karşılaştırıldığında 6,93 ve 59,5 keV'lik enerjilerde en iyi sonuç 10 mm'lik kolimatör ile; 23,17 ve 40,12 keV'lik enerjilerde en iyi sonuç 2 mm'lik kolimatör ile sağlanmıştır. Nikel için teorik değerlerden en fazla sapma olan ölçümler 6,93 ve 23,17 keV'lik enerjilerde 4 mm'lik kolimatör ile, 40,12 keV'lik enerjide 10 mm'lik kolimatör ile ve 59,5 keV'lik enerjide ise 6 mm'lik kolimatör ile alınmıştır.

Molibden ölçümlerinde elde edilen kütle soğurma katsayıları teorik değerlerle karşılaştırıldığında 6,93 keV'lik enerjide en iyi sonuç 10 mm'lik kolimatör ile, 23,17 keV'lik enerjide en iyi sonuç 4 mm'lik kolimatör ile, 40,12 ve 59,5 keV'lik enerjilerde ise en iyi sonuç 2 mm'lik kolimatör ile elde edilmiştir. Molibden ölçümleri için bulunan teorik

değerlerden en fazla sapma 6,93 keV'lik enerjide 4 mm'lik kolimatör ile, 23,17 ve 40,12 keV'lik enerjilerde 10 mm'lik kolimatör ile, 59,5 keV'lik enerjide ise 6 mm'lik kolimatör ile elde edilmiştir.

Tantalyum ölçümelerinde elde edilen kütle soğurma katsayıları teorik değerlerle karşılaştırıldığında 6,93, 23,17 ve 40,12 keV'lik enerjilerde teorik değerlere en yakın sonuçlar 2 mm'lik kolimatör ile, 59,5 keV'lik enerji ise 4 mm'lik kolimatör ile elde edilmiştir. Tantalyum ölçümeleri için teorik sonuçlardan en fazla sapmalar 6,93 ve 23,17 keV'lik enerjilerde 4 mm'lik kolimatör, 40,12 ve 59,5 keV'lik enerjilerde ise 10 mm'lik kolimatör kullanıldığında elde edilmiştir.

Görüldüğü üzere alttaki kolimatör çapı sabit tutulduğunda genel olarak 2 mm'lik kolimatörler tüm enerjilerde hem nikel uyarıcı hem de tantalyum uyarıcı durumlarında uygun bir kolimatör çapı olarak göze çarpmaktadır. Molibden de ise deneysel ve istatistiksel sapmalardan dolayı biraz daha farklı durum sergilemektedir. Buradaki hatalar uyarıcı enerjilerinden ziyade aynı deney geometrisini birebir koruyamamaktan ileri gelmektedir. Tabi saçılmanın kütle soğurma katsayılarındaki en büyük problemlerden biri olduğu düşünüldüğünde saçılan radyasyonun bu ölçümelerde meydana getirdiği hatayı göz önünde bulundurmak gereklidir.

Üst kolimatörün sabit tutulduğu duruma bakıldığından durum biraz daha farklılık göstermektedir. Çünkü uyarıcı ve enerji değişikçe durumda değişiklik söz konusudur. Fakat yinede 2 mm'lik kolimatör çapının uygun olduğu birçok durum söz konusudur.

Soğurucuda saçılmış radyasyonun katkısıyla değiştirilen bir X-ışını demetinin nasıl zayıflatıldığını belirlemek için son yıllarda bir hayli çalışma yapılmıştır. Bu saçılma katkısı, ışınlanan alana ve soğurucuda dedektör tarafından görülen katı açıya bağlıdır. Işınlanan küçük bir alan ve küçük bir dedektör katı açısı durumu “dar-demet (narrow-beam)” geometrisi olarak adlandırılır; “geniş-demet” geometrisi ışınlanan alanın ya da dedektör katı açısının büyük olduğunu ima eder. Korunma çalışmalarında “geniş-demet” terimi çok daha kısıtlayıcıdır. Hem ışınlanan alan hem de dedektör katı açısı yeterince büyük olduğunda, her ikisinde de herhangi artış şiddetin azaltılmasını etkilemeyecektir. Compton etkisi soğurma mekanizmasına katkı sağladığında, geniş-demet durumlarındaki birim kalınlık başına azaltılma dar-demettekinden azdır. Nüfuz etmedeki (penetrasyondaki) bu artış, Compton etkisinin bir toplam soğurma sürecinden ziyade saçılma süreci olmasından kaynaklanır ve saçılan fotonların bir kısmı nihayetinde engelden geçer.

Fotoelektrik soğurma katsayısı,  $cm^2/atom$  cinsinden, atom numarasının yaklaşık olarak 5. kuvveti ile değişir. Yüksek enerjilerde, demetin azaltılma mekanizmasının büyük bir kesri aslında elektronlarla etkileşimi içeren Compton saçılmasıından oluşmaktadır. Bundan dolayı, bu işlemle azaltılma bütün pratik amaçlar için birim alan başına soğurucunun ağırlığına bağlıdır.

Sonuç olarak dar ışın geometrisi için oldukça iyi bir deney geometrisi ve kolimatör çapı belirlemek gereklidir. Aksi takdirde saçılma etkilerinde dolayı kütle soğurma katsayısı hesaplamalarında hata yapmak kaçınılmazdır.

## 5. ÖNERİLER

Bu tezde  $^{241}Am$  radyoizotop kaynağı kullanılarak Ni, Mo ve Ta elementlerinin belirlenen 4 enerjideki kütle soğurma katsayıları deneysel olarak ölçülmüştür. Bu ölçümler alınırken çapları belirlenen 4 farklı kolimatör kullanılmıştır. Bu kolimatörler deney geometrisine yerleştirilirken şunlara dikkat edilmiştir. Dedektör ve soğurucu arasındaki kolimatör 4 mm çapında sabit tutulduğunda, kaynak ve soğurucu arasına 4 farklı kolimatör sırayla yerleştirilmiştir. Ölçümler bu şekilde tamamlandıktan sonra kaynak ve soğurucu arasındaki kolimatör 4 mm çapında sabit tutulmuş dedektör ve soğurucu arasındaki kolimatör çapı değiştirilmiştir. Deneyler sonucunda hesaplanan kütle soğurma katsayıları teorik değerler ile karşılaştırılmış ve parametreler üzerine kolimatör etkisi araştırılmıştır.

$^{241}Am$  radyoizotop kaynak kullanılarak farklı elementlerin kolimatör kullanılarak kütle soğurma katsayıları deneysel ve teorik olarak ölçülebilir. Kullanılan kolimatör çapları değiştirilebilir. Ölçümlerin alınacağı enerjiler değiştirilerek bu parametrelerin enerjiye bağlılığı incelenebilir.

## 6. KAYNAKLAR

- Abdullah, K.K., Nair, K.K., Ramachandran, N., Varier, K.M., Babu, B.R.S., Joseph, A., Thomas, R., Magudapathy, P. ve Nair, K.G.M., 2010. X-ray Attenuation Around K-edge of Zr, Nb, Mo and Pd: A Comparative Study Using Proton-induced X-ray Emission and  $^{241}Am$  Gamma Rays-Pramana, J. Phys. 75, 459.
- Arslan, T., 2010. X-ışınları ve Kullanım Alanları, Lisans Tezi, Gazi Üniversitesi, Gazi Eğitim Fakültesi, Ankara, 3-10.
- Baltaş, H., 2006. YBaCuO ve BiPbSrCaCuO Süperiletkenlerinin Soğurma Katsayılarının İncelenmesi, Doktora Tezi, Karadeniz Teknik Üniversitesi, Fen Bilimleri Enstitüsü, Trabzon, 27-34.
- Berger, M.J ve Hubbell, J.H., 1987. XCOM: photon cross sections on a personal computer. NBSIR 87-3597. On the Web: <http://physics.nist.gov/PhysRefData/Xcom/Text/Xcom.html>
- Bertin, E.P., 1975. Principles and Practica of X-ray Spectrometric Analysis, Second Edition, Plenum Press, New York, London.
- Carlsson, G.A., 1971. A Criticism of Existing Tabulations of Mass Energy Transfer and Mass Energy Absorption Coefficient, Health Phys. 20, 653-655.
- Carlsson,G.A., 1985. Theoretical Basis for Dosimetry, Chap. 1 in The Dosimetry of Ionizing Radiation, 1, K.R. Kase, B.E. Bajngard and F.H. Attix, eds. (Academic Press, Orlando), 1-75.
- Chantler, C.T., Tran, C.Q., Barnea, Z., Paterson, D., Cookson, D.J. ve Balaic, D.X., 2001. Phys. Rev. A 64, 15.
- Creagh, D.C., 1987. Nucl. Instr. Meth. A 222, 1.
- Creagh, D.C. ve Hubbell, J.H., 1987. Problems Associated with The Measurement of X-rays Attenuation Coefficients. I. Silicon. Report on the International Union of Crystallography X-ray Attenuation Project. Acta Cryst. A. 43, 102-112.
- Creagh, D.C. ve Hubbell, J.H., 1990. Problems Associated with The Measurement of X-ray Attenuation Coefficients. II. Carbon. Report on the International Union of Crystallography X-ray Attenuation Project, Acta Cryst. A. 46, 402-408.
- Creagh, D.C. ve Hubbell, J.H., 1992. X-ray Absorption (or Attenuation) Coefficients, Sec. 4.2.4. in International Tablets for Crystallography, Vol. C, A.J.C., Wilson, ed. (Kluwer Academic Publishers, Dordrecht). 189-206.

- Çelik, N., Çevik, U. ve Çelik, A., 2012. Effect of detector collimation on the measured mass attenuation coefficients of some elements for 59.5-661.6 keV gamma-rays, Elsevier Science Publishers, Nuclear Instruments and Methods in Physics Research B 281, 8-14.
- Çevik, U. ve Baltaş, H., 2007. Measurement of the mass attenuation coefficients and electron densities for BiPbSrCoCuO superconductor at different energies. Nucl. Instr. Meth. B 256, 619.
- Debertin, K. ve Hemler, R.G., 1988. Gamma and X-ray Spectrometry with Semiconductor Detectors, Elsevier Science Publishers, New York, U.S.A., 94-100.
- Gerward, L., 1993. X-ray Attenuation Coefficients: Current State of Knowledge and Availability. *Radiat. Phys. Chem.* 41, 783-789.
- Hubbell, J.H., 1982. Photon mass attenuation and energy-absorption coefficients. *Int. J. Appl. Radiat. Isot* 33, 1269.
- Hubbell, J.H., 1994. Bibliography of photon Total Cross Section (Attenuation Coefficient) Measurements 10 eV to 13.5 GeV, 1907-1993. NISTR 5437.
- Hubbell, J.H., Seltzer, S.M., 1995. Tables of X-ray Mass attenuation Coefficients and Mass Energy-Absorption Coefficient 1 keV to 20 MeV for Elements Z=1 to 92 and 48 Additional Substance of Dosimetric Interest, NISTR 5632, Gatenestburg.
- Kavgaci, M., Kimyasal Banyo Yöntemi ile Üretilen XSe (X=Zn, Cu, Mn) İnce Filmlerde XRF Ölçümleri, Yüksek Lisans Tezi, Kahramanmaraş Sütçü İmam Üniversitesi, Fen Bilimleri Enstitüsü, Kahramanmaraş, 2007.
- Krane, K.S., 2006. Nükleer Fizik 1. Cilt, Şarer, B., 1, Palme Yayıncılık, Ankara, 204-217.
- Moreh, R. ve Wang, Y., 1975. Nucl. Phys. A 252, 423.
- Norrish, K. ve Hotton, J.J., 1969. Accurate X-ray Spectrographic Method for the Analysis a Wide Range of Geological Samples. *Geochemiaat cosmoshimicia Acta* 33, 431.
- URL-1, [tr.wikipedia.org/wiki/Elektronyetik\\_ışınım](http://tr.wikipedia.org/wiki/Elektronyetik_ışınım). 11 Ekim 2012
- URL-2, [frmsinsi.com/showtheread.php?t=541210](http://frmsinsi.com/showtheread.php?t=541210), Elektromanyetik Radyasyon. 21 Ağustos 2012.
- URL-3, [www.ndt-ed.org/EducationResources/CommunityCollege/Radiography/Physics/attenuationCoef.htm](http://www.ndt-ed.org/EducationResources/CommunityCollege/Radiography/Physics/attenuationCoef.htm).
- Williams, K.L., 1987. An Introduction to X-ray Spectrometry: X-ray Fluorescence and Electron Microprobe, Allen and Unwin, London.

## **ÖZGEÇMİŞ**

1987 yılında İstanbul'da doğdu. İlk, orta ve lise öğrenimini İstanbul'da tamamladı. 2005 yılında Karadeniz Teknik Üniversitesi Fen Fakültesi Fizik Bölümünü kazandı ve 2009 yılında mezun oldu. Aynı yıl Karadeniz Teknik Üniversitesi Fen Bilimleri Enstitüsü'nde Yüksek Lisans öğrenimine başladı.